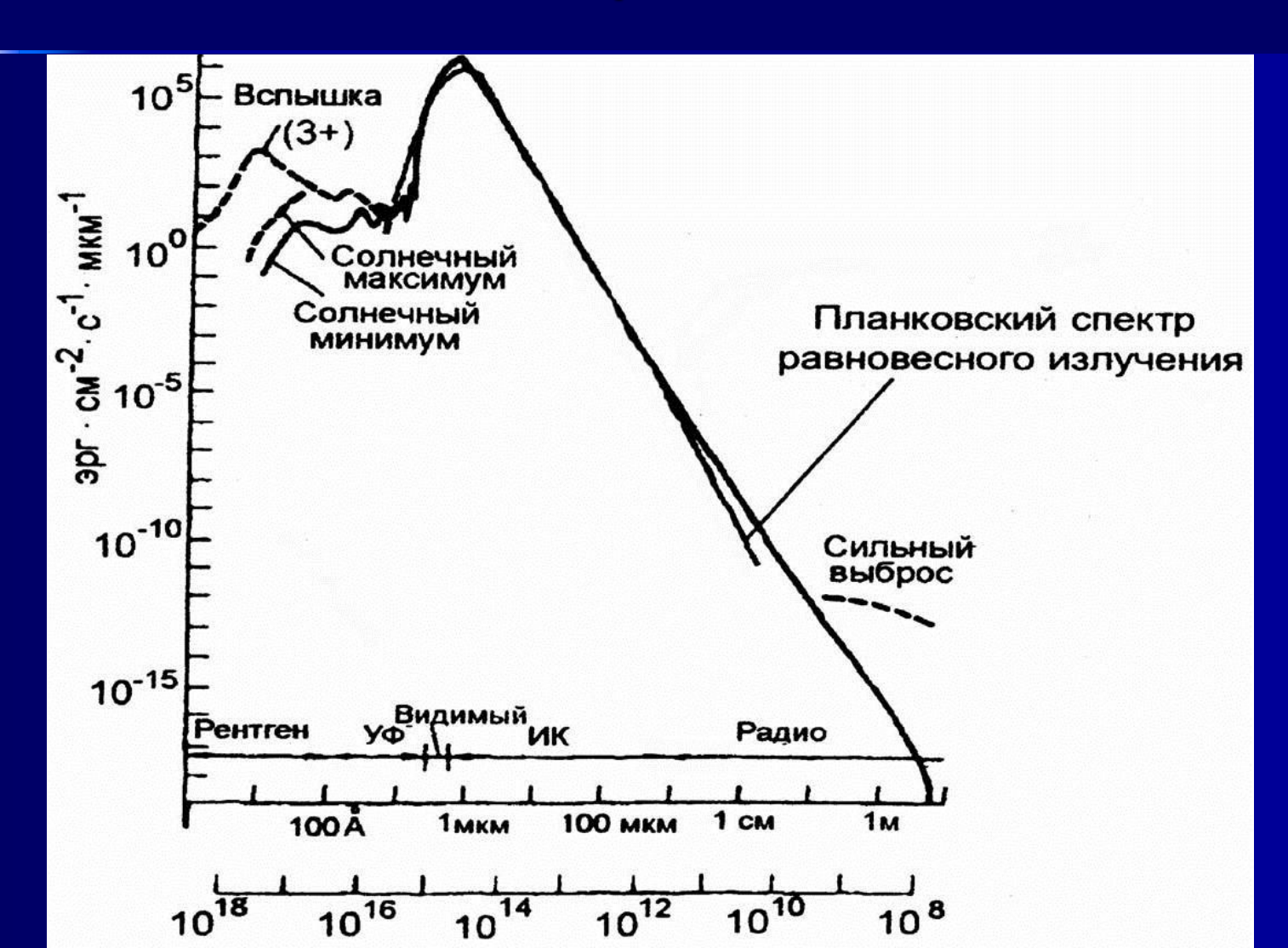
Глобальная экология и глобальная безопасность

Лекция 6. Озоновый слой планеты Земля

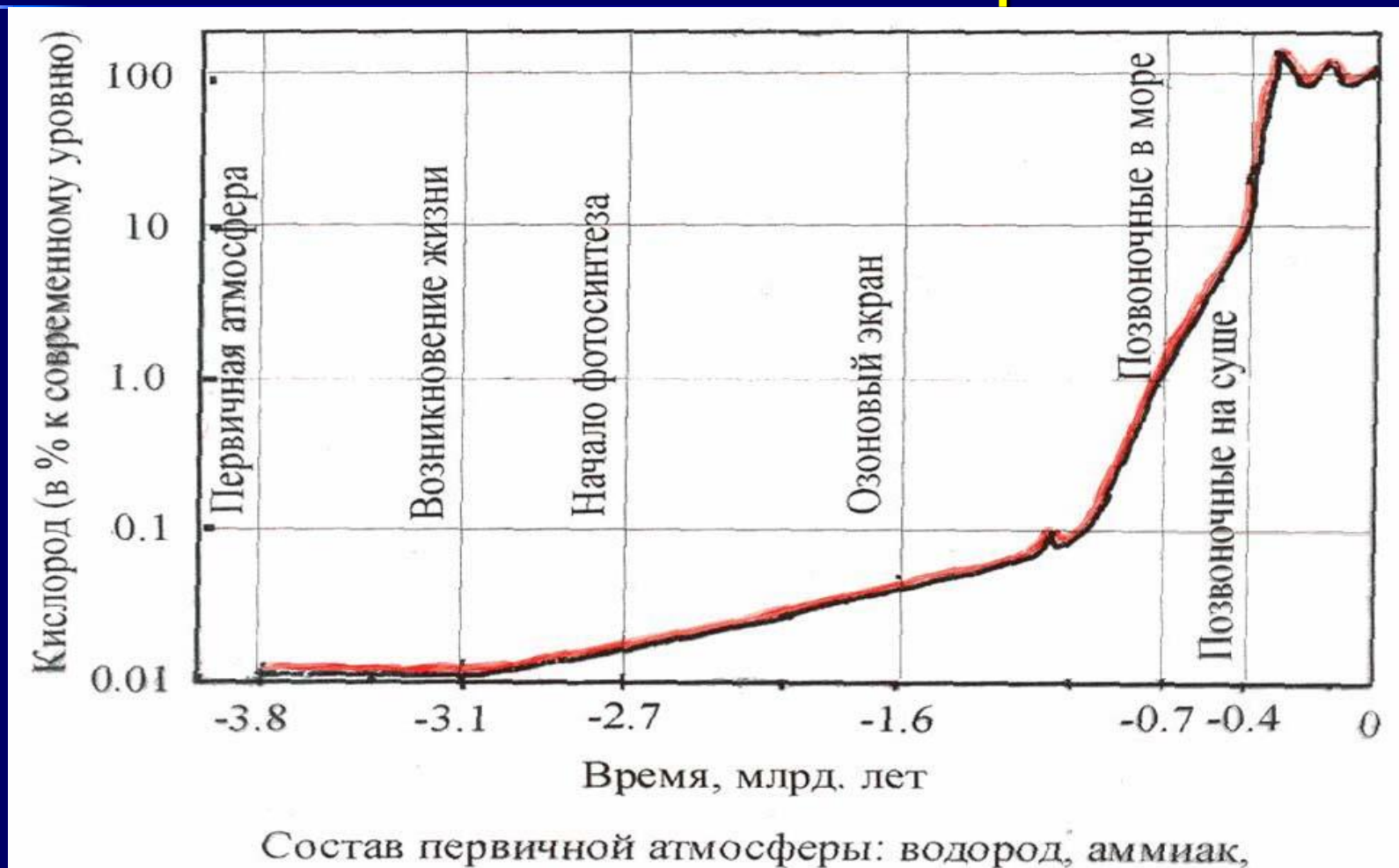
Озоновый слой планеты Земля.

- Ультрафиолетовое излучение как спектральная составляющая в потоке излучения от Солнца.
- Солнечные циклы и роль магнитосферы Земли.
- Кинематика наработки озона в атмосфере.
- Представление об озоновом слое и его роли в защите живого на поверхности Земли.
- Факторы, влияющие на толщину озонового слоя. Озоновые дыры.
- Возможные пути восстановления озонового слоя.

Спектр излучения, поступающего от Солнца на Землю

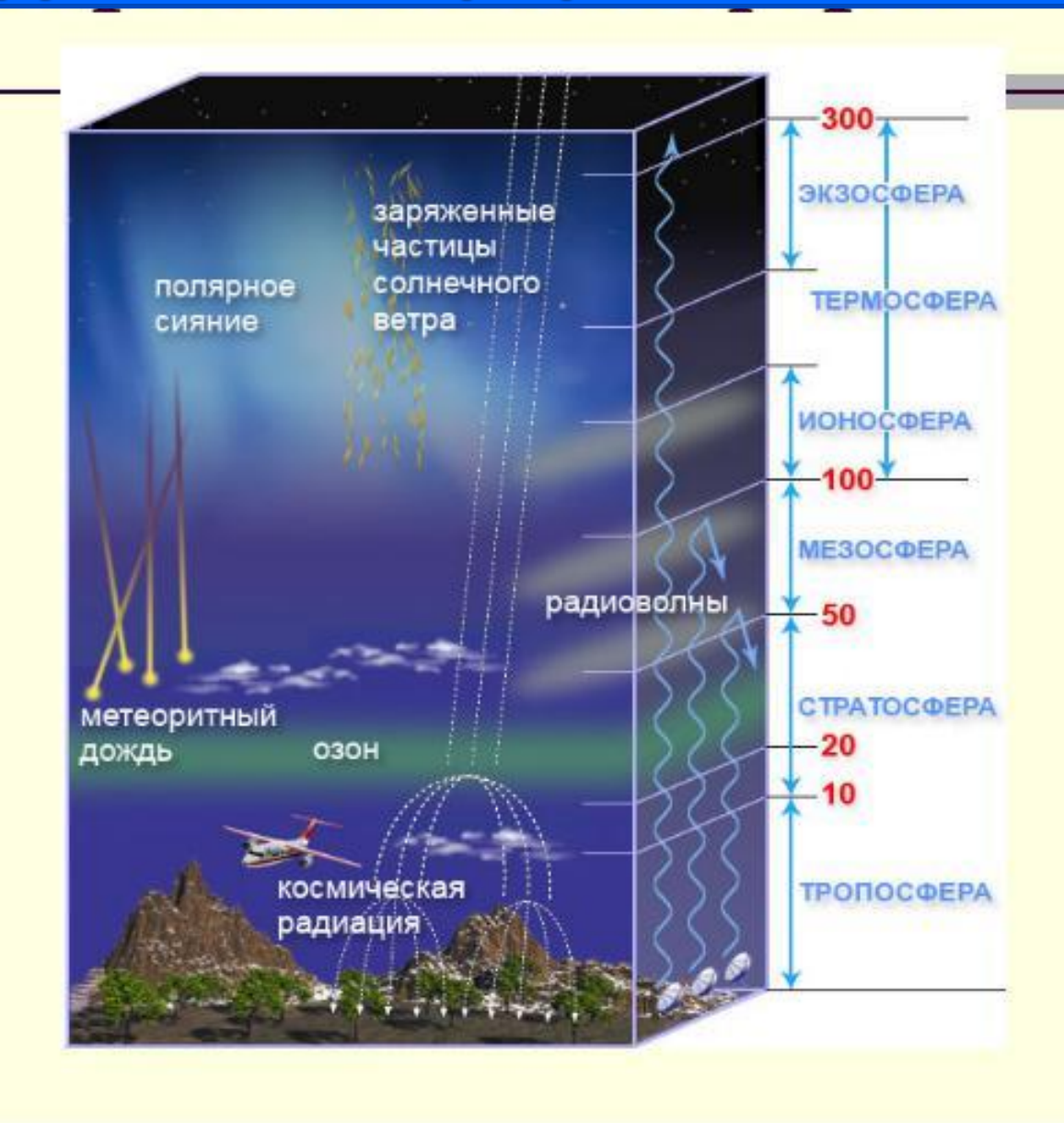


Изменение содержания кислорода в атмосфере в ходе геологической истории

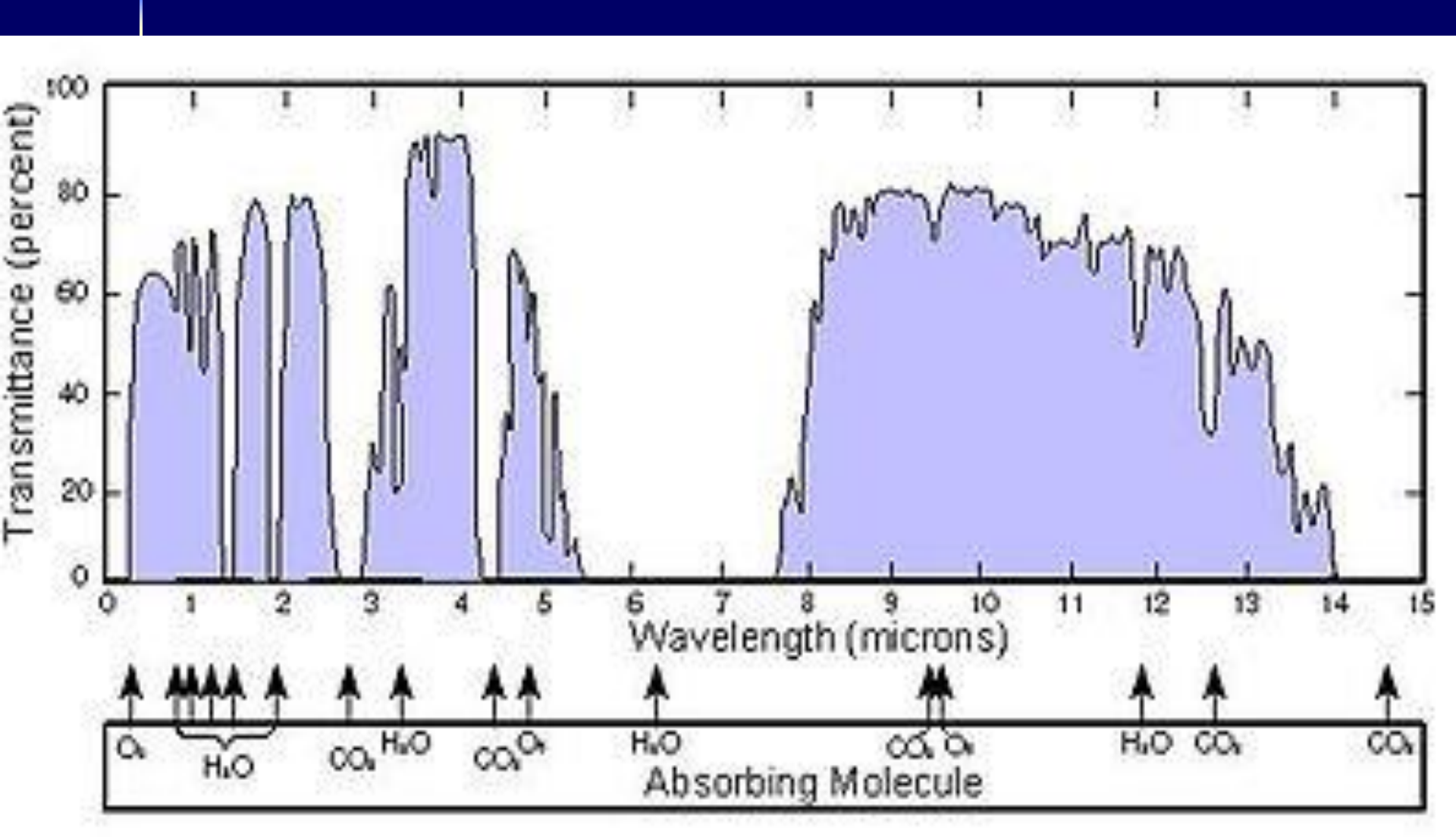


водяные пары, метан, углекислый газ.

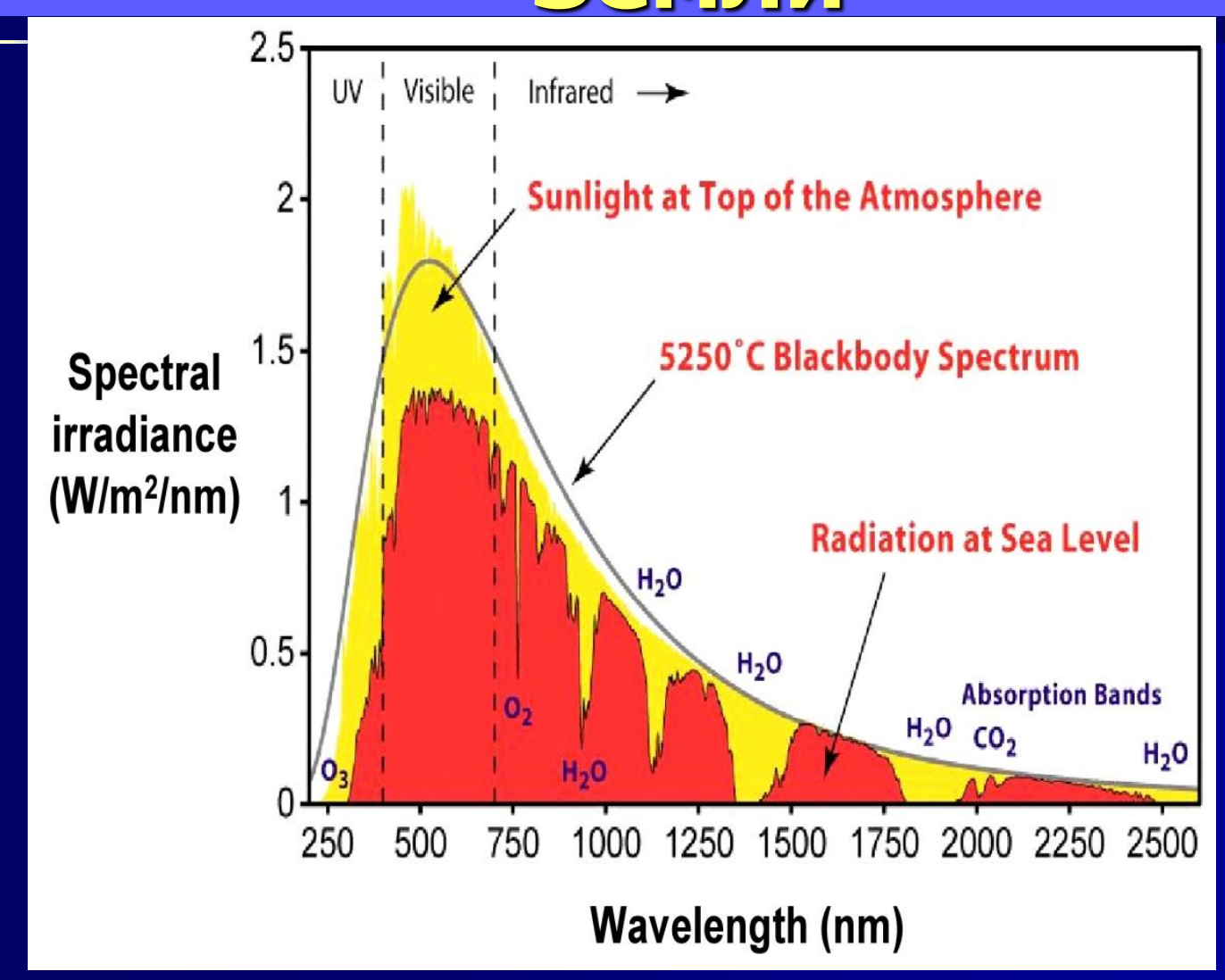
Структура атмосферы Земли



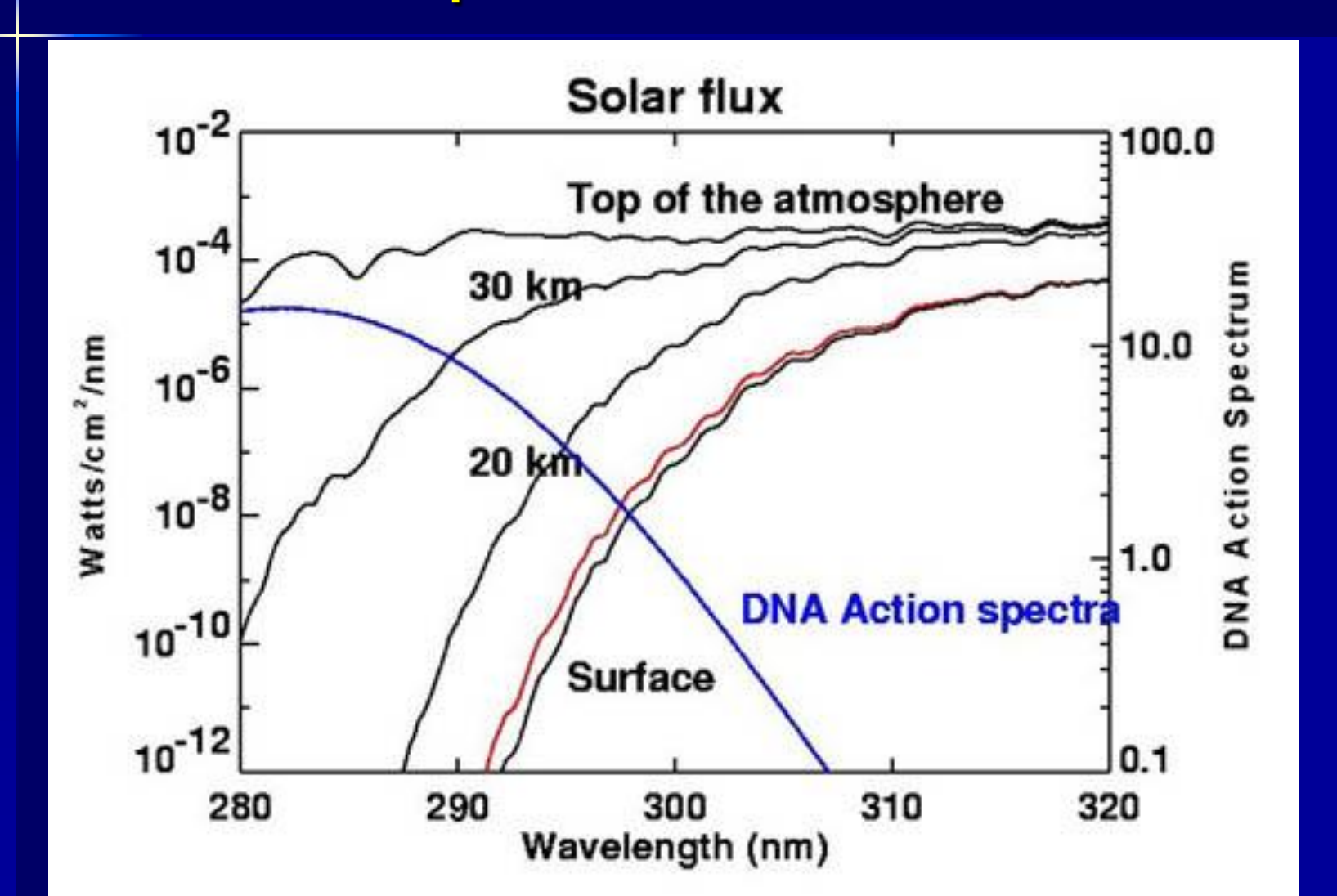
Полосы пропускания атмосферы Земли

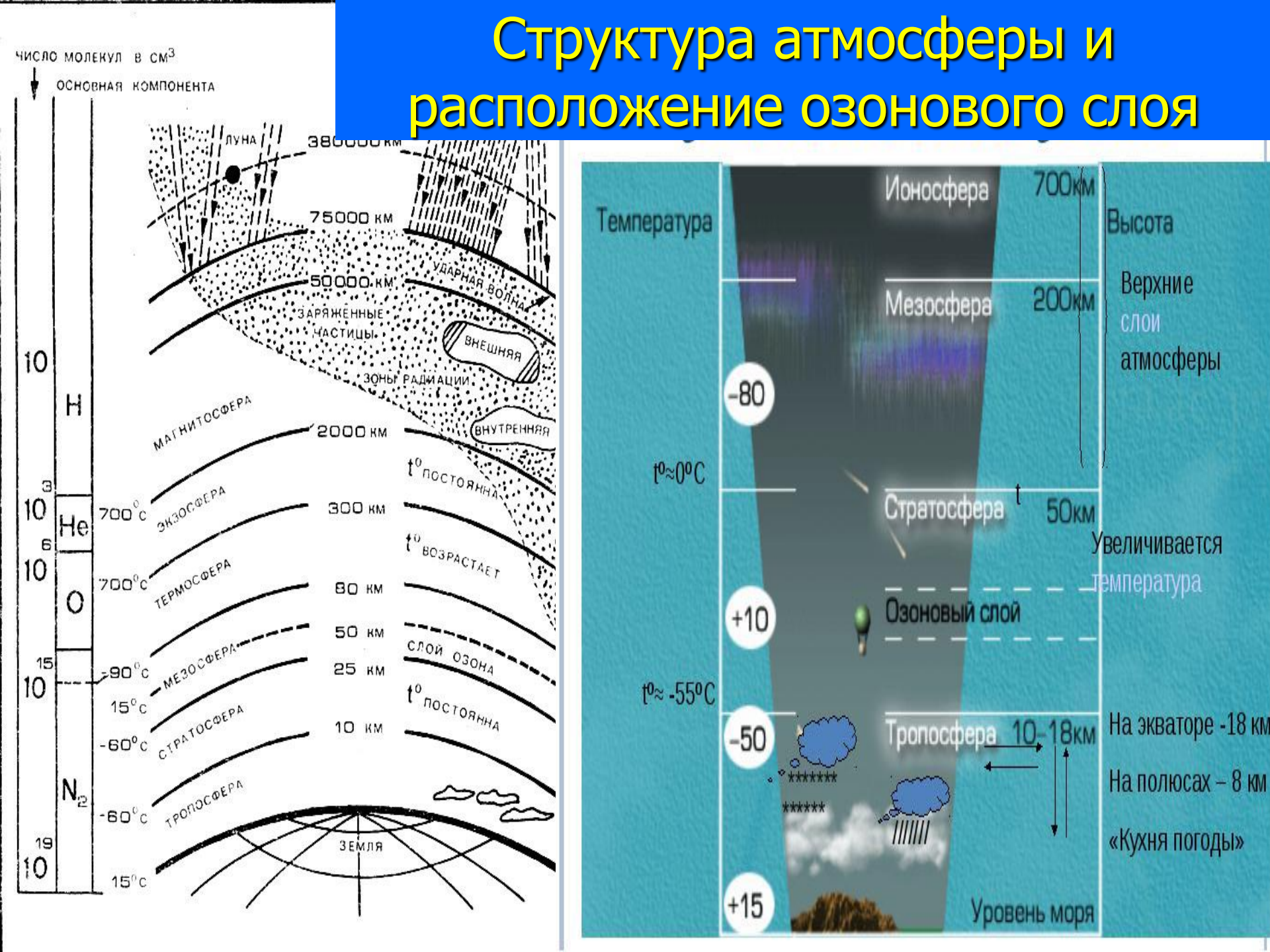


Спектр излучения Солнца и полосы поглощения в атмосфере Земли



Спектр УФ-излучения, проникающего в атмосфере на различную высоту от поверхности Земли





Наработка озона в атмосфере



Распределение озона по высоте в атмосфере Земли

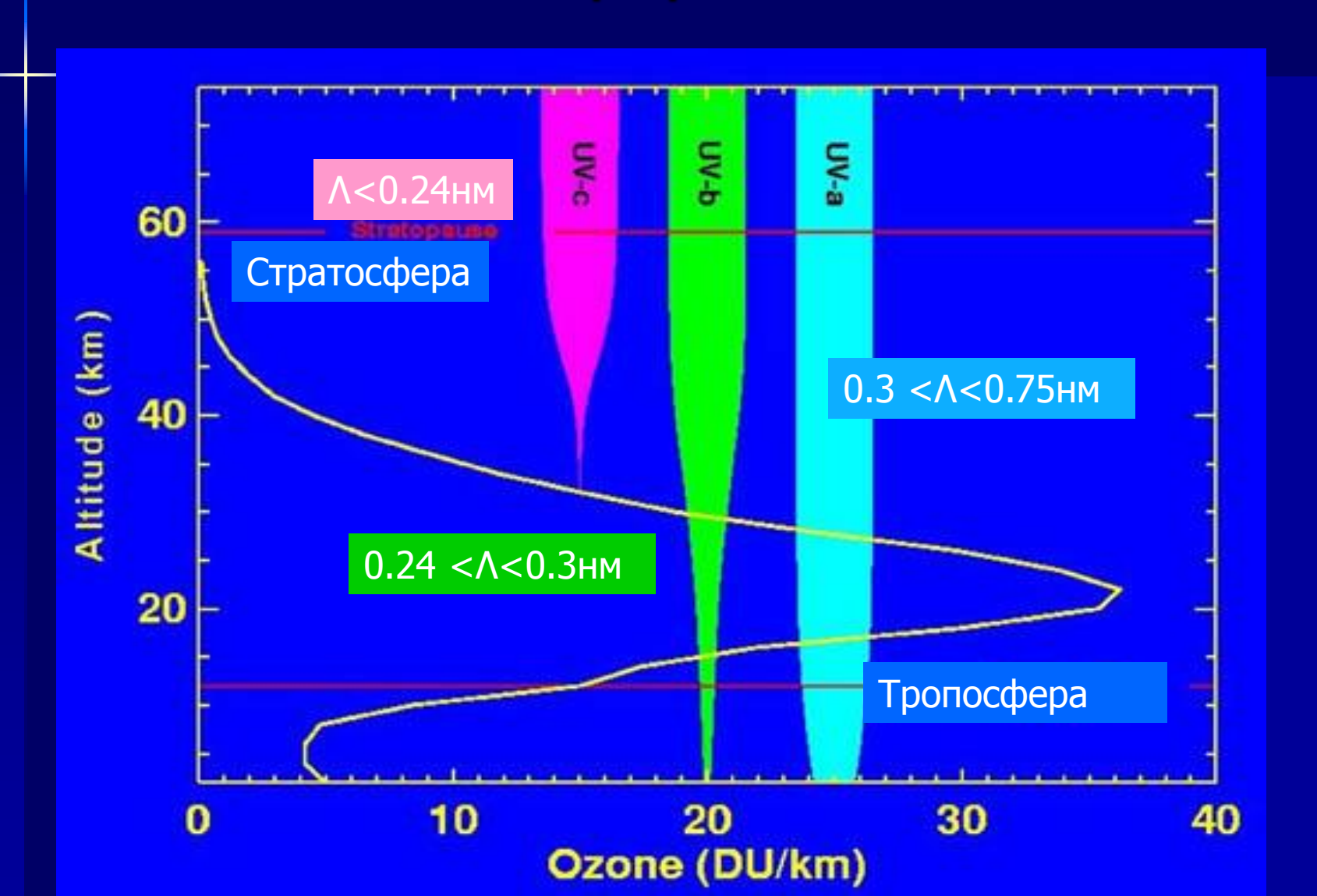
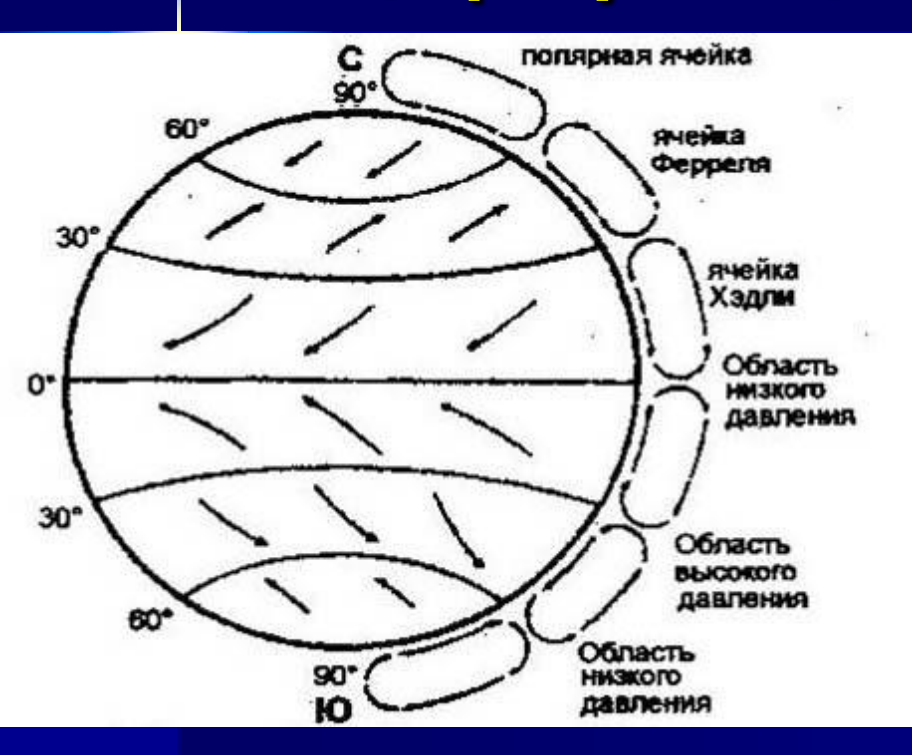
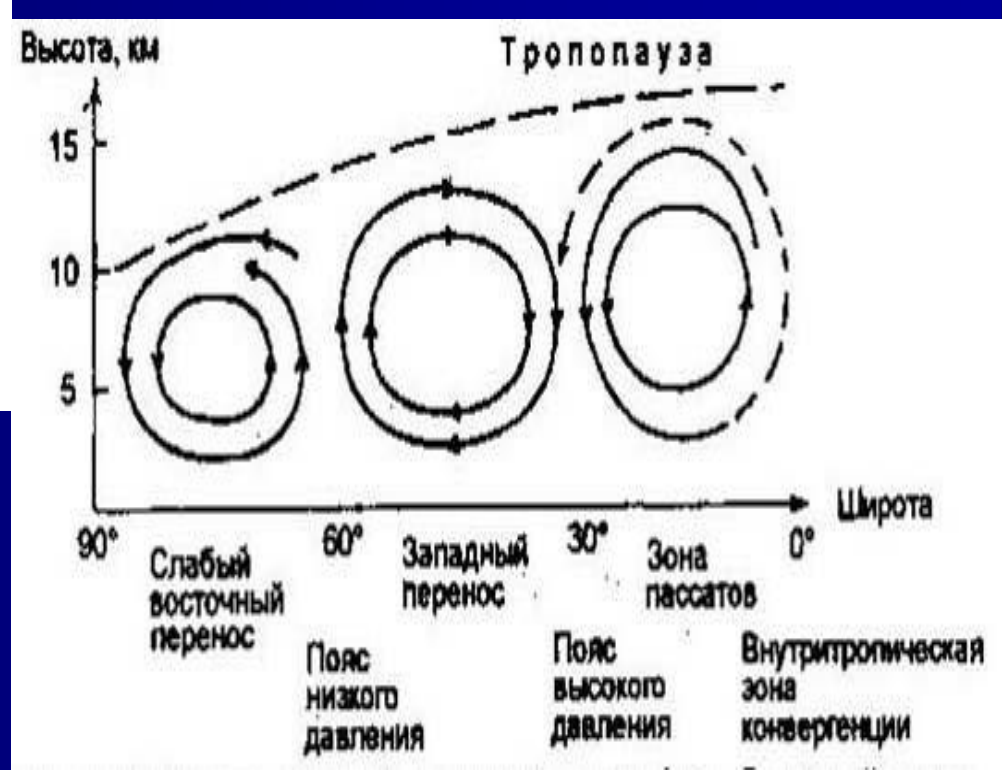
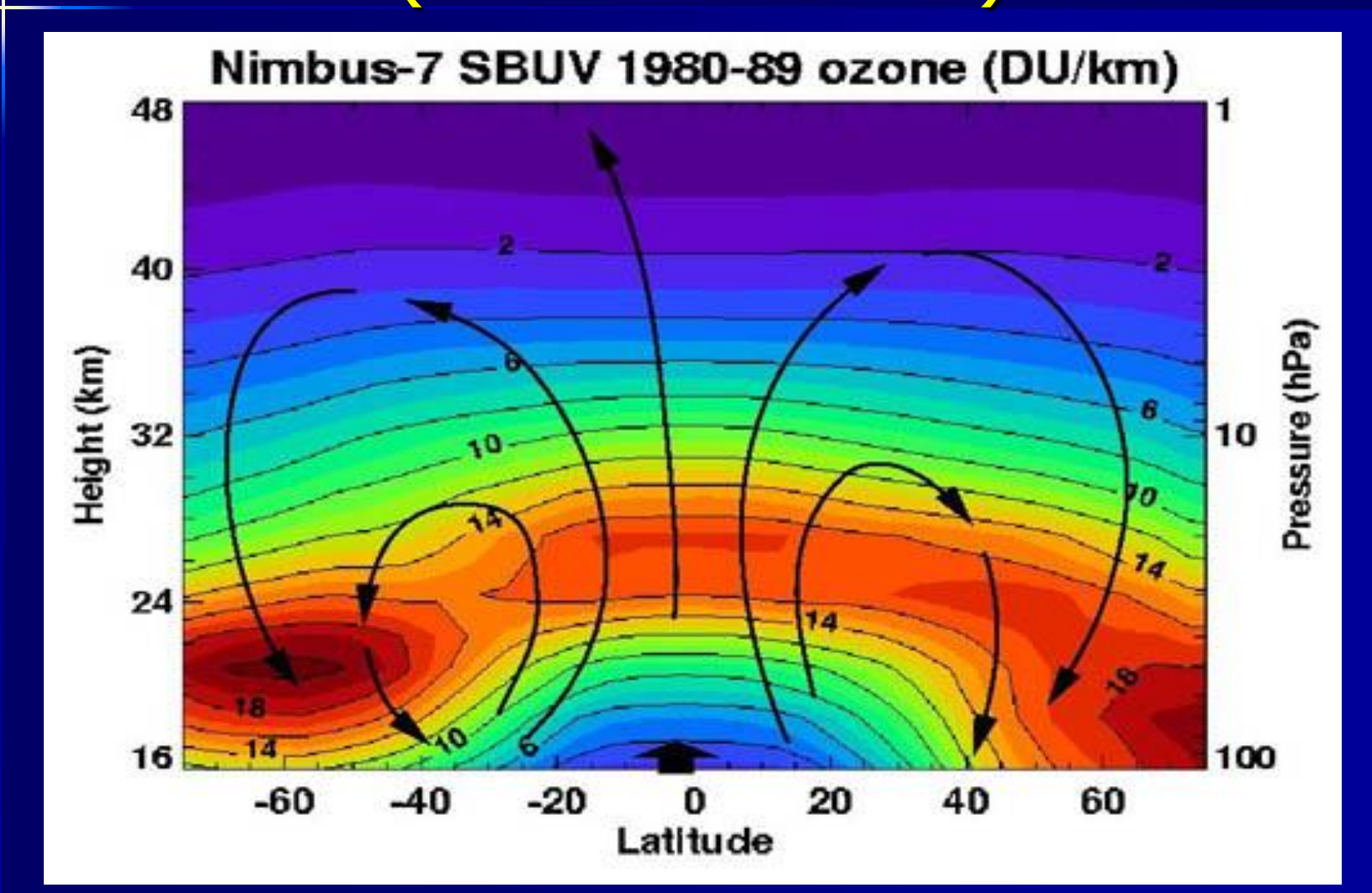


Схема глобальной циркуляции в атмосфере

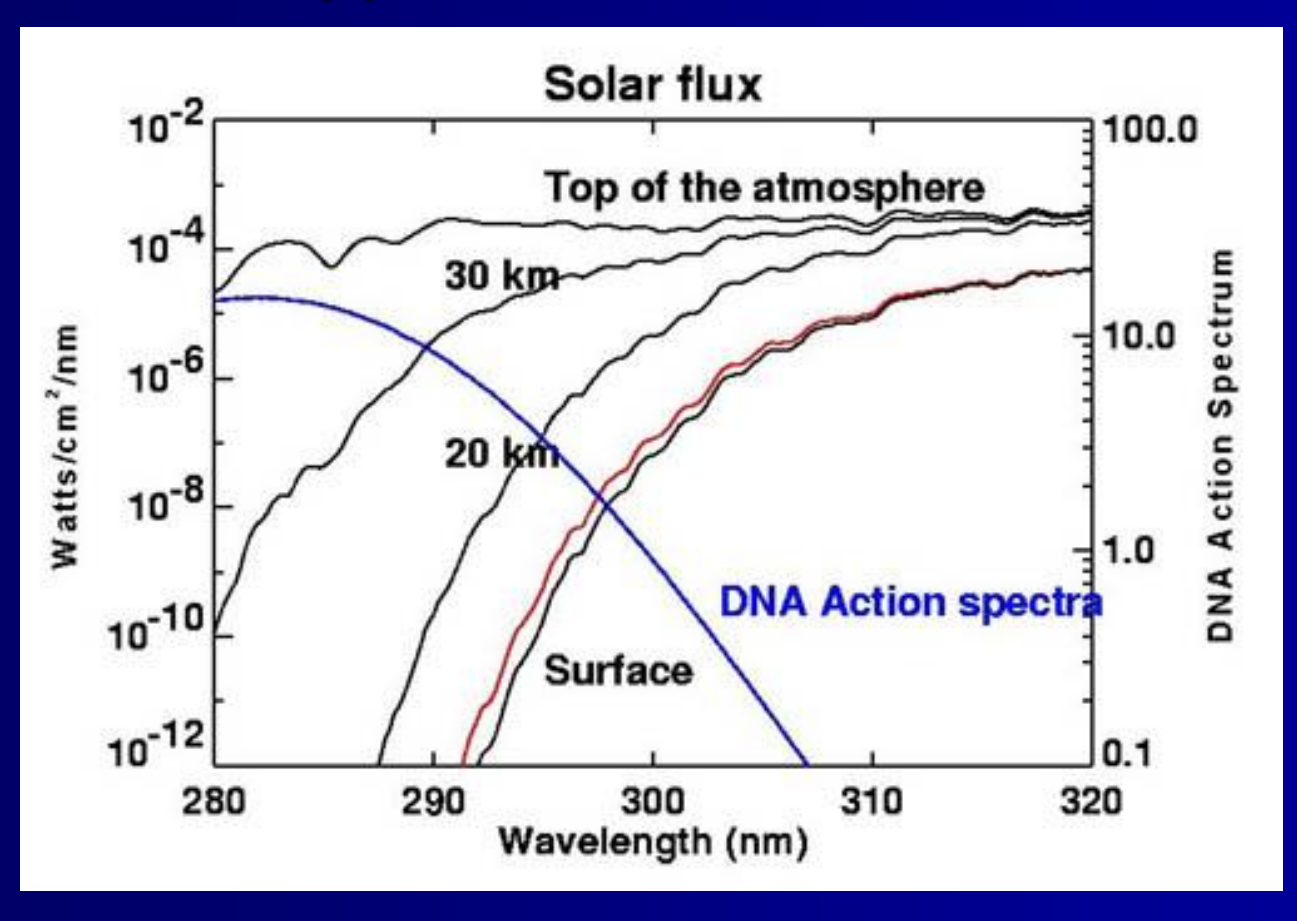




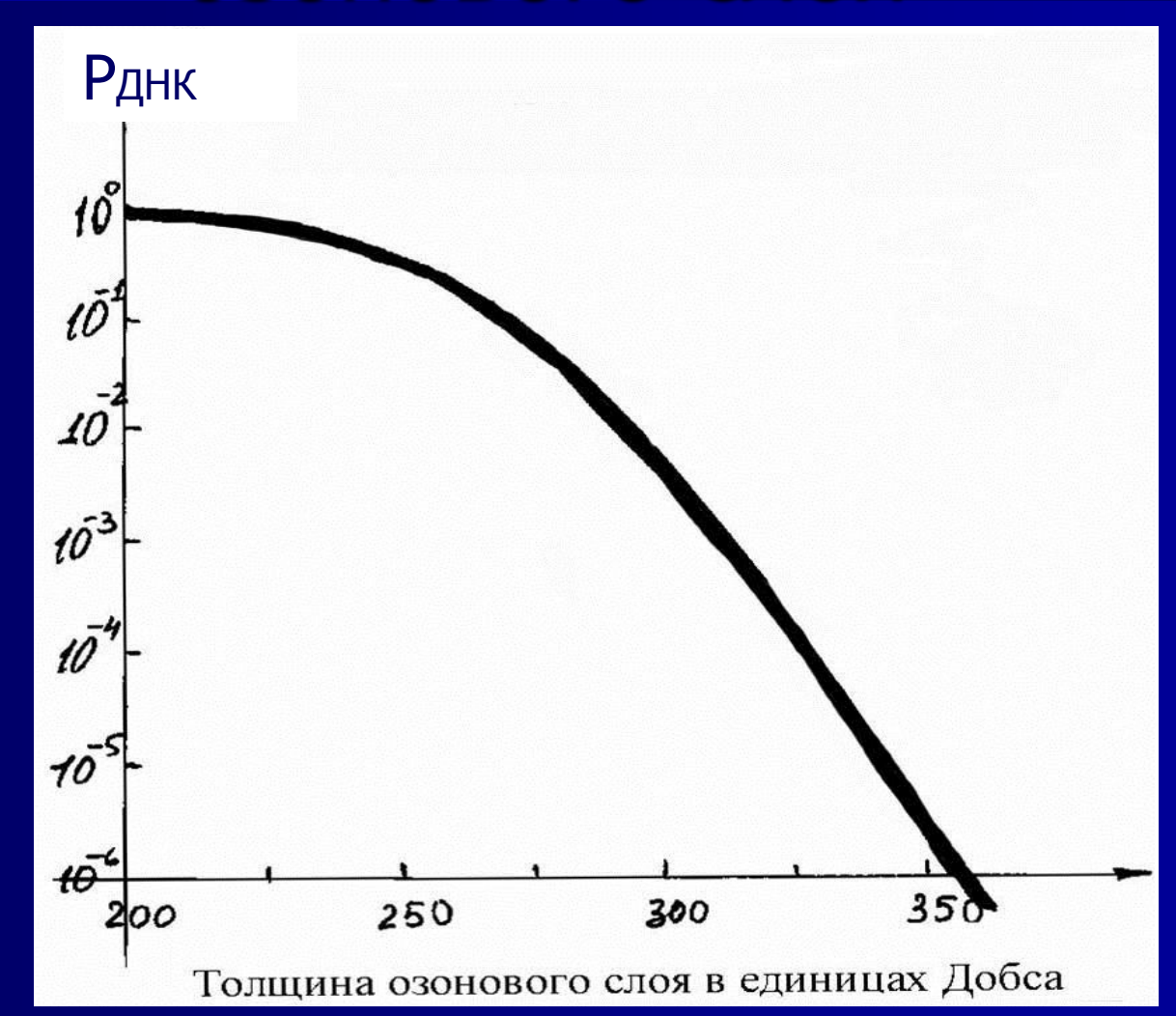
Распределение озона в атмосфере Земли (озоновый слой)



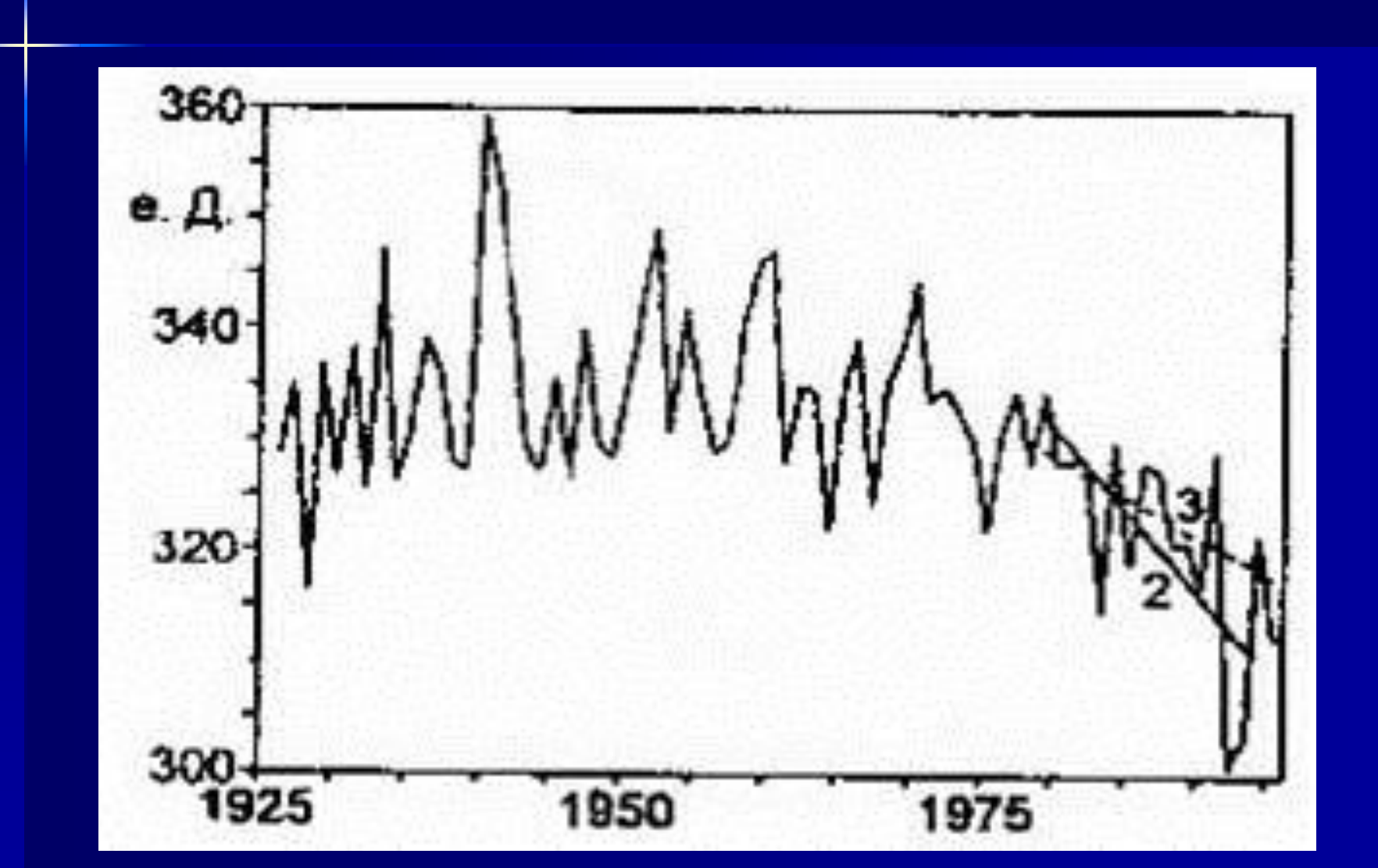
Вероятность повреждения ДНК УФ-излучением с различной длиной волны



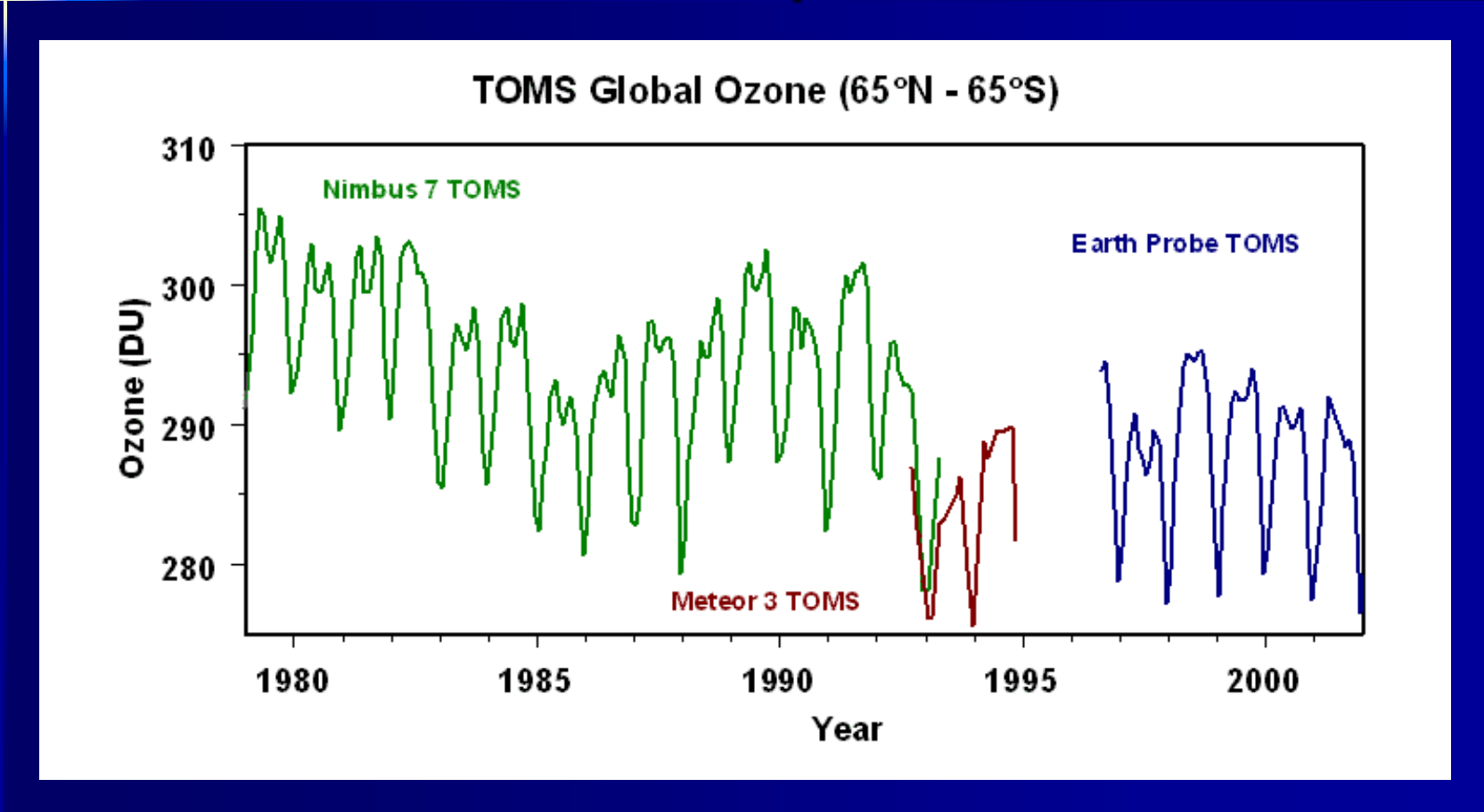
Вероятность повреждения ДНК как функция толщины озонового слоя



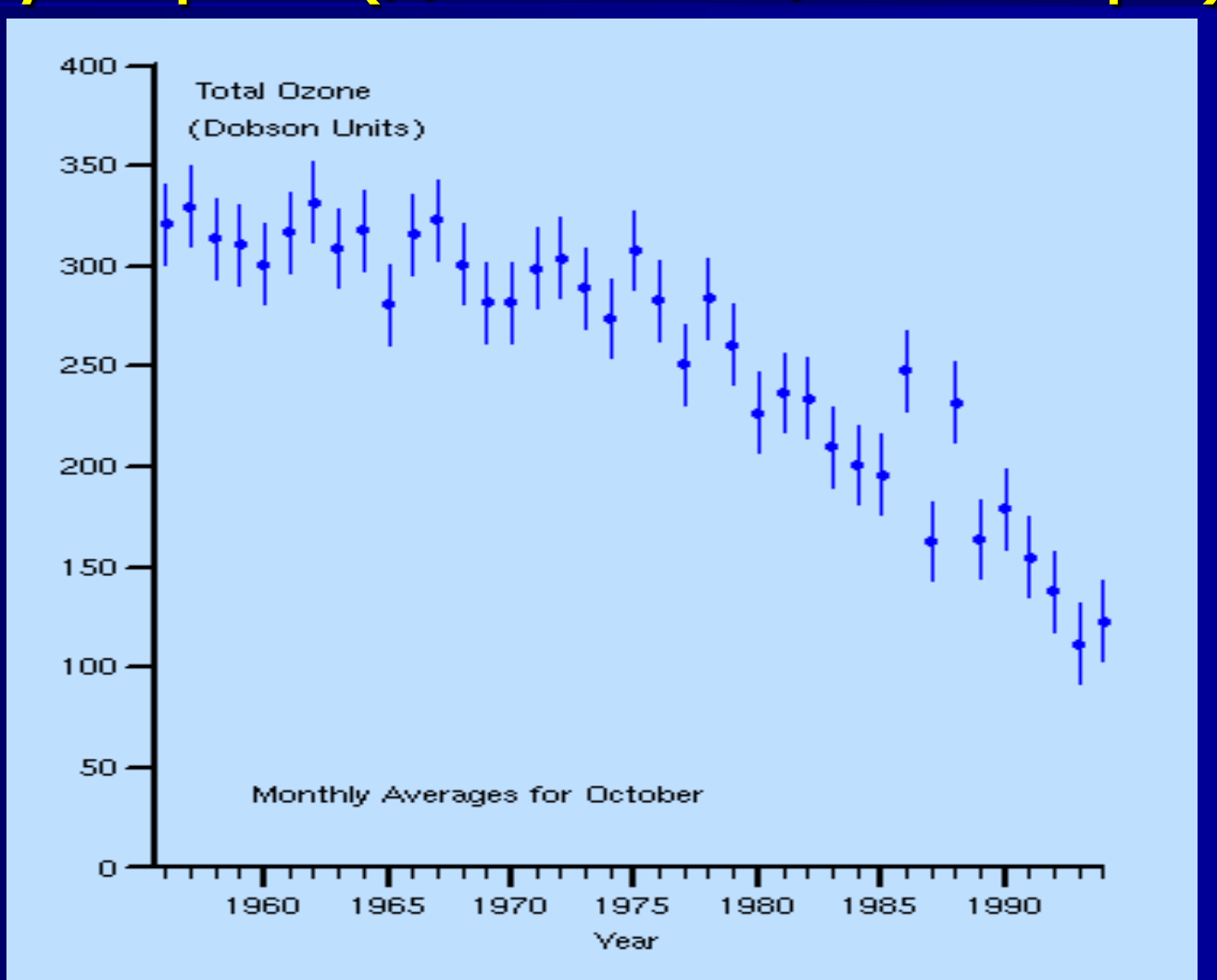
Временной ход среднегодовых значений общего содержания озона



Спутниковые измерения поведения толщины озонового слоя во времени



Изменение по годам толщины озонового слоя в южном полушарии (для месяца октября)



Образование и разрушение озона в верхних слоях атмосферы $O_2 + O_2 + M = O_3 + M$

$$O_2 + hv = 20$$

$$O_3 + hv = O_2 + O$$

$$O_3 + O = 2O_2$$

Разрушение озона из-за присутствия фтор-хлор-углеродов в атмосфере

Масштабы присутствия различных фтор-хлор-углеродов в атмосфере

газ	Содержание на 10 ⁹ мол воздуха	Годовой тренд	Время жизни, годы
CFCl ₃ (ХФУ-11)	0,226	4	74
CF ₂ Cl ₂ (ХФУ-12)	0,392	4,3	111
C ₂ F ₂ Cl ₃ (ХФУ-13)	0,032	11,3	90

Наработка атомарного хлора из-за присутствия фтор-хлоруглеродов в атмосфере

$$CFCl_3 + hv = Cl + CFCl_2$$

$$CF_2Cl_2 + hv = Cl + CF_2Cl$$

$$CI + O_3 = CIO + O_2$$

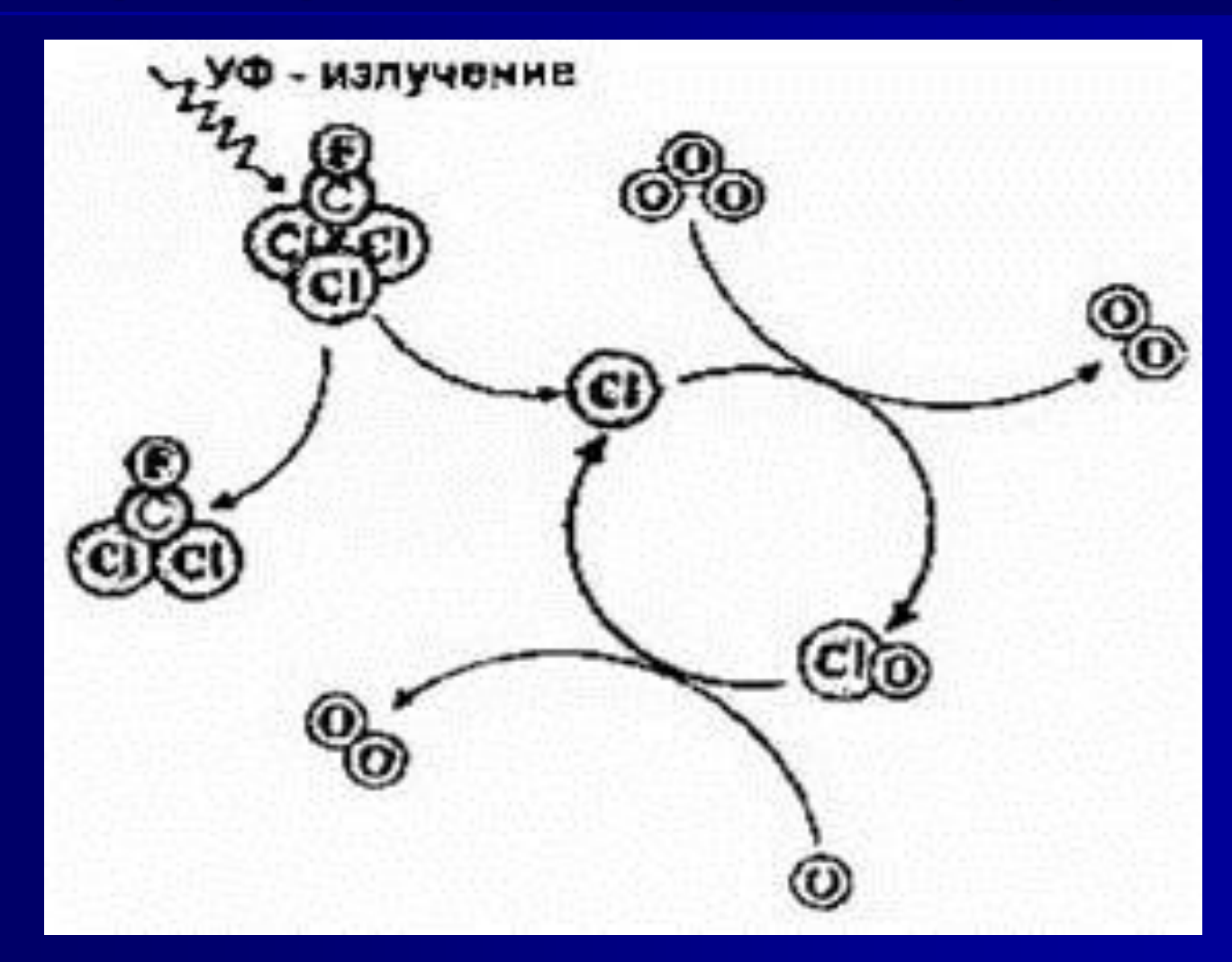
$$CIO + O = CI + O_2$$

Разрушение озона из-за присутствия атомарного хлора в атмосфере

$$CI + O_3 = CIO + O_2$$

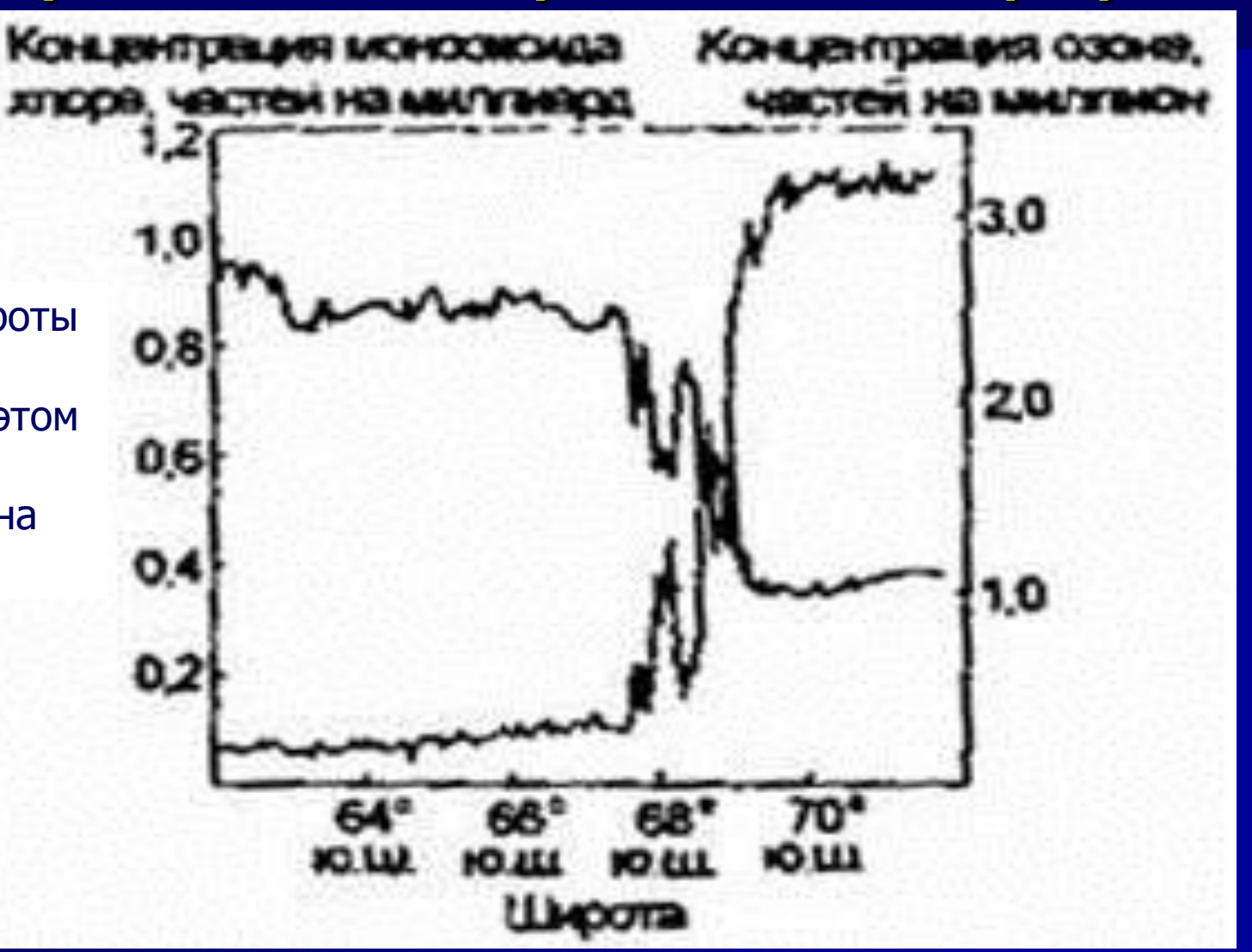
$$ClO + O = Cl + O_2$$

Картина цикла разрушение озона из-за присутствия фтор-хлоруглеродов в атмосфере



Разрушение озона из-за присутствия хлора в атмосфере

С повышением широты концентрация CIO понижается и при этом происходит рост концентрации озона



Разрушение озона из-за присутствия в атмосфере активных радикалов

$$X = CI, Br, NO$$

 $X+O_3 \Rightarrow XO+O_2$
 $XO+O \Rightarrow X+O_2$

$$X = OH$$
 $X+O_3 \Rightarrow XO+O_2$
 $XO+O_3 \Rightarrow X+2O_2$

Разрушение озона из-за присутствия окислов азота в атмосфере

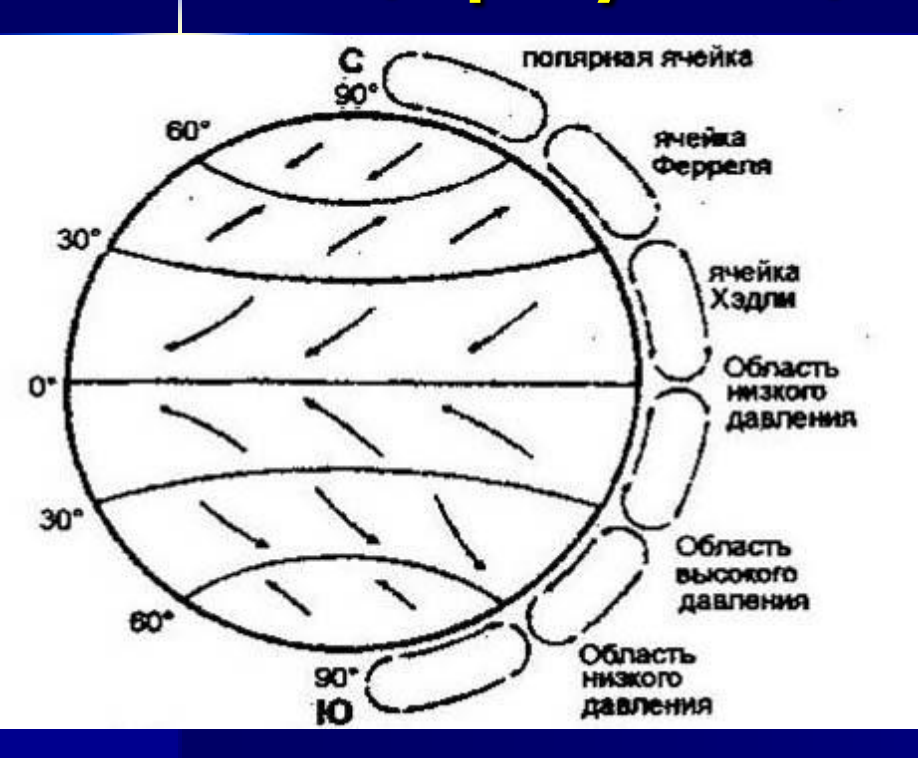
$$NO_2 + O = NO + O_2$$

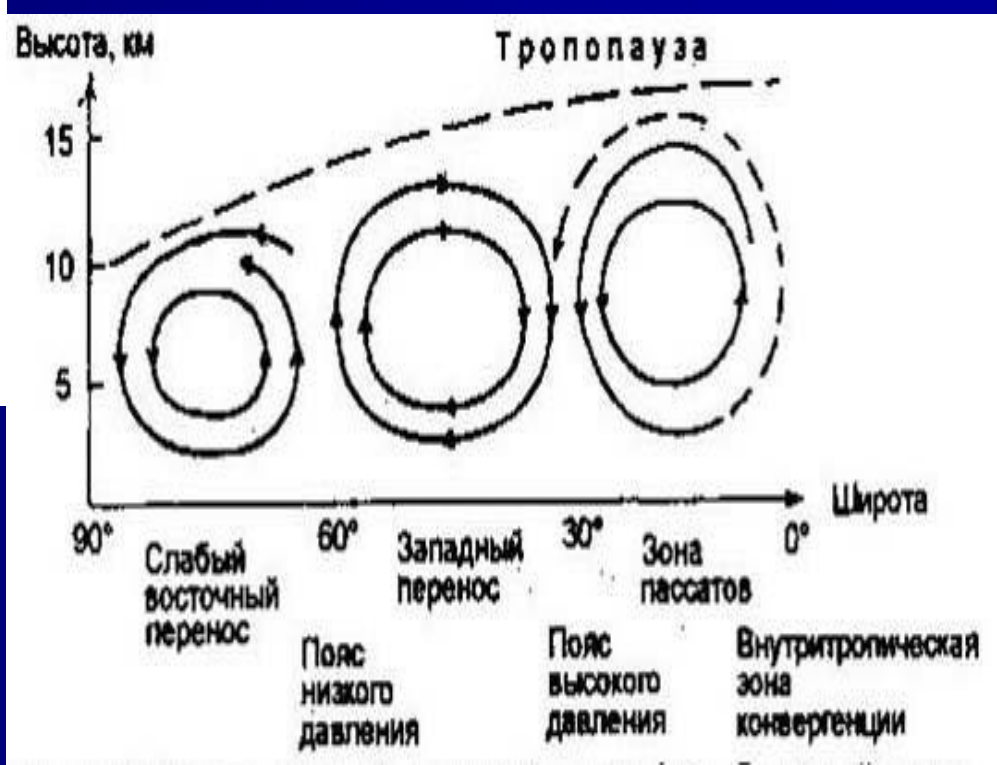
$$NO + O_3 = NO_2 + O_2$$

$$NO_2 + O_3 = NO_3 + O_2$$

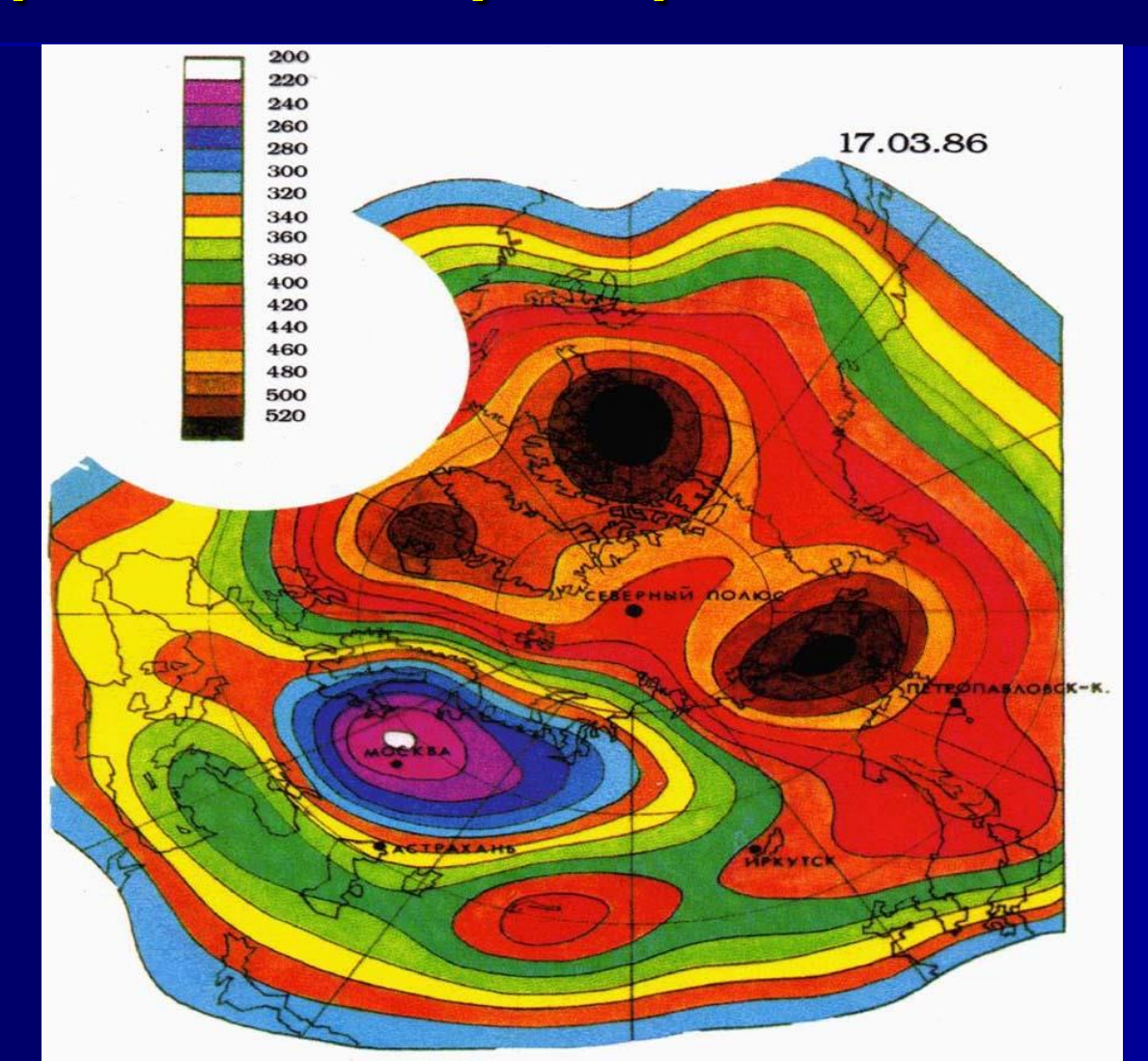
$$NO_3 + hv = NO + O_2$$

Схема глобальной циркуляции в атмосфере

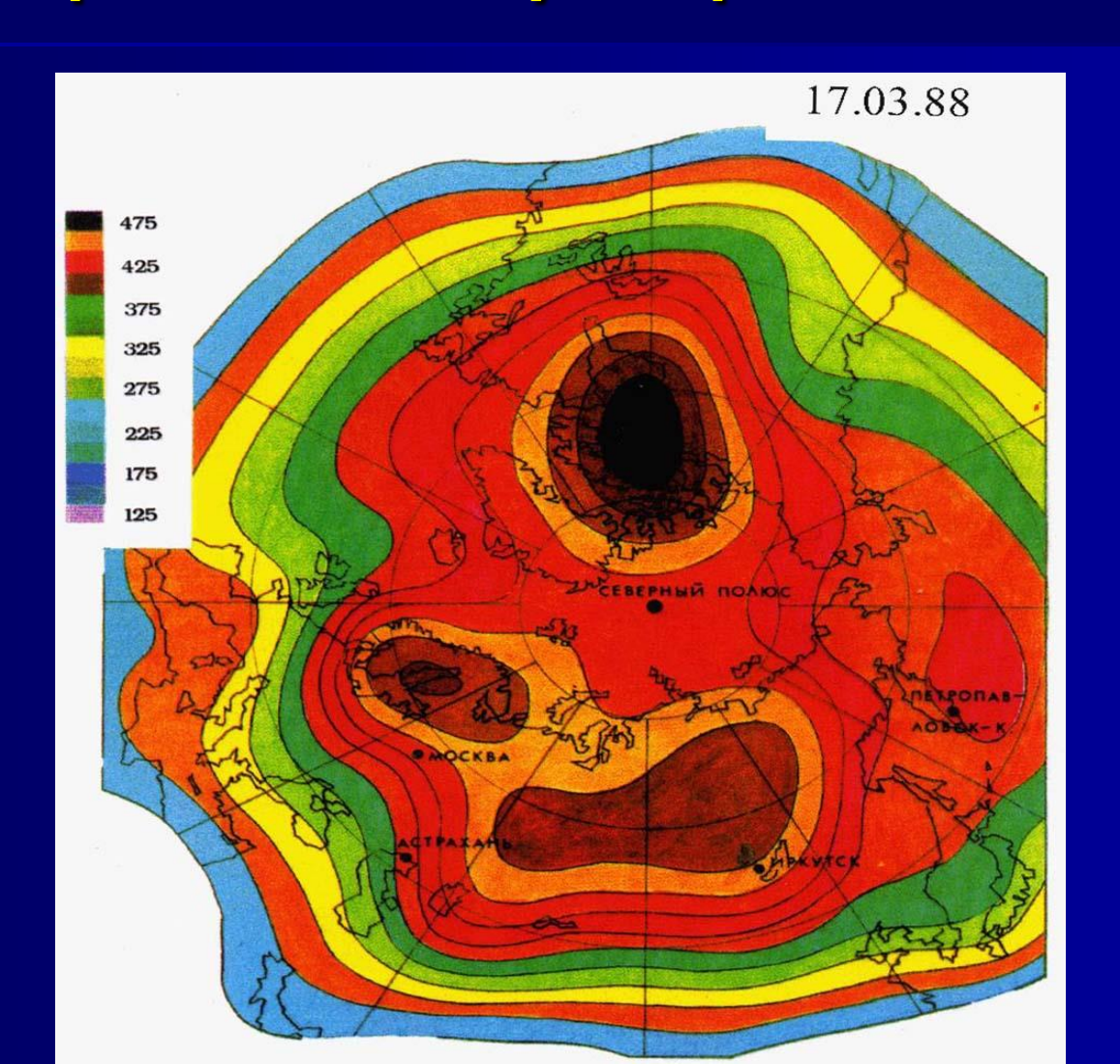




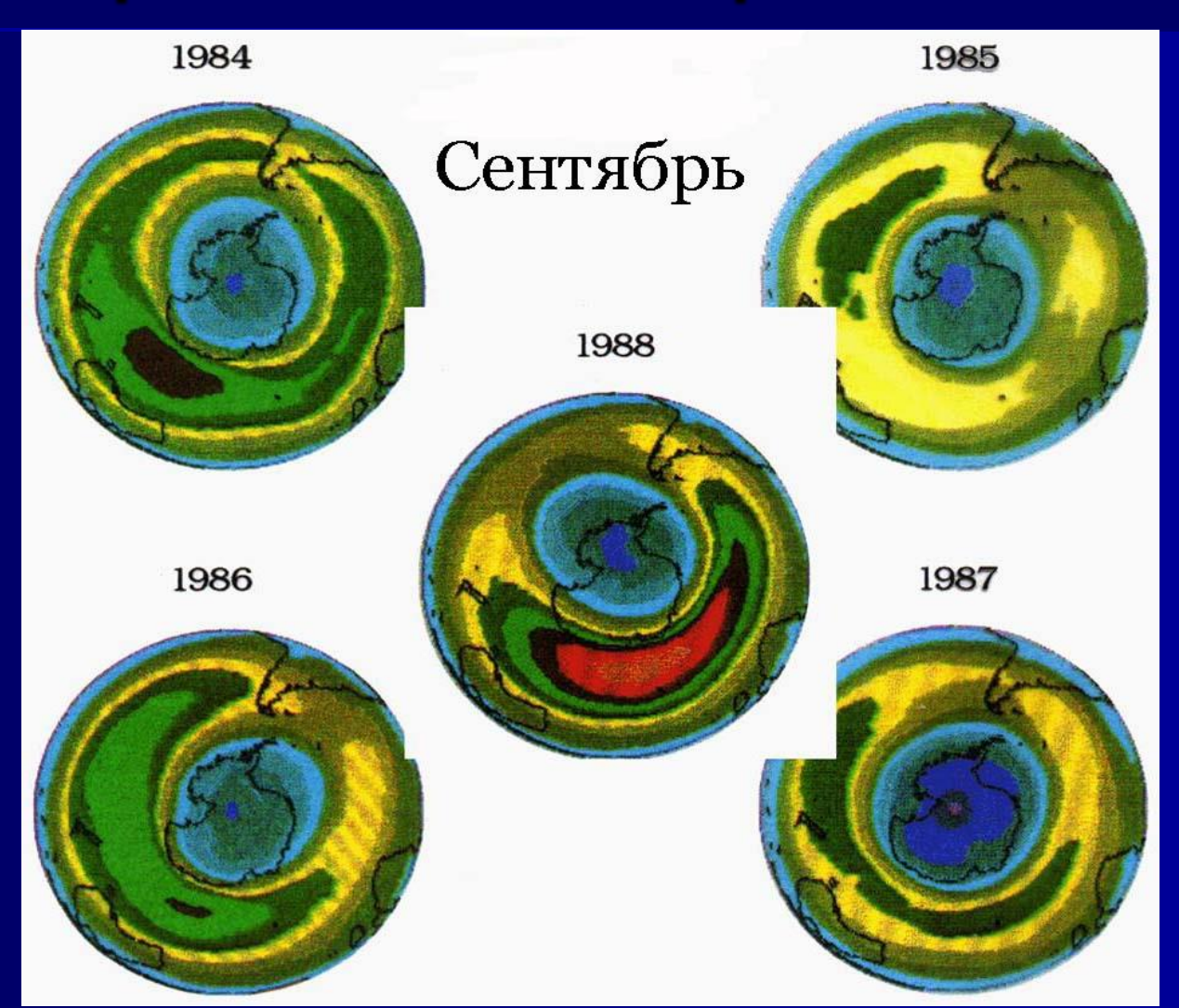
Распределение озона над северным полушарием весной



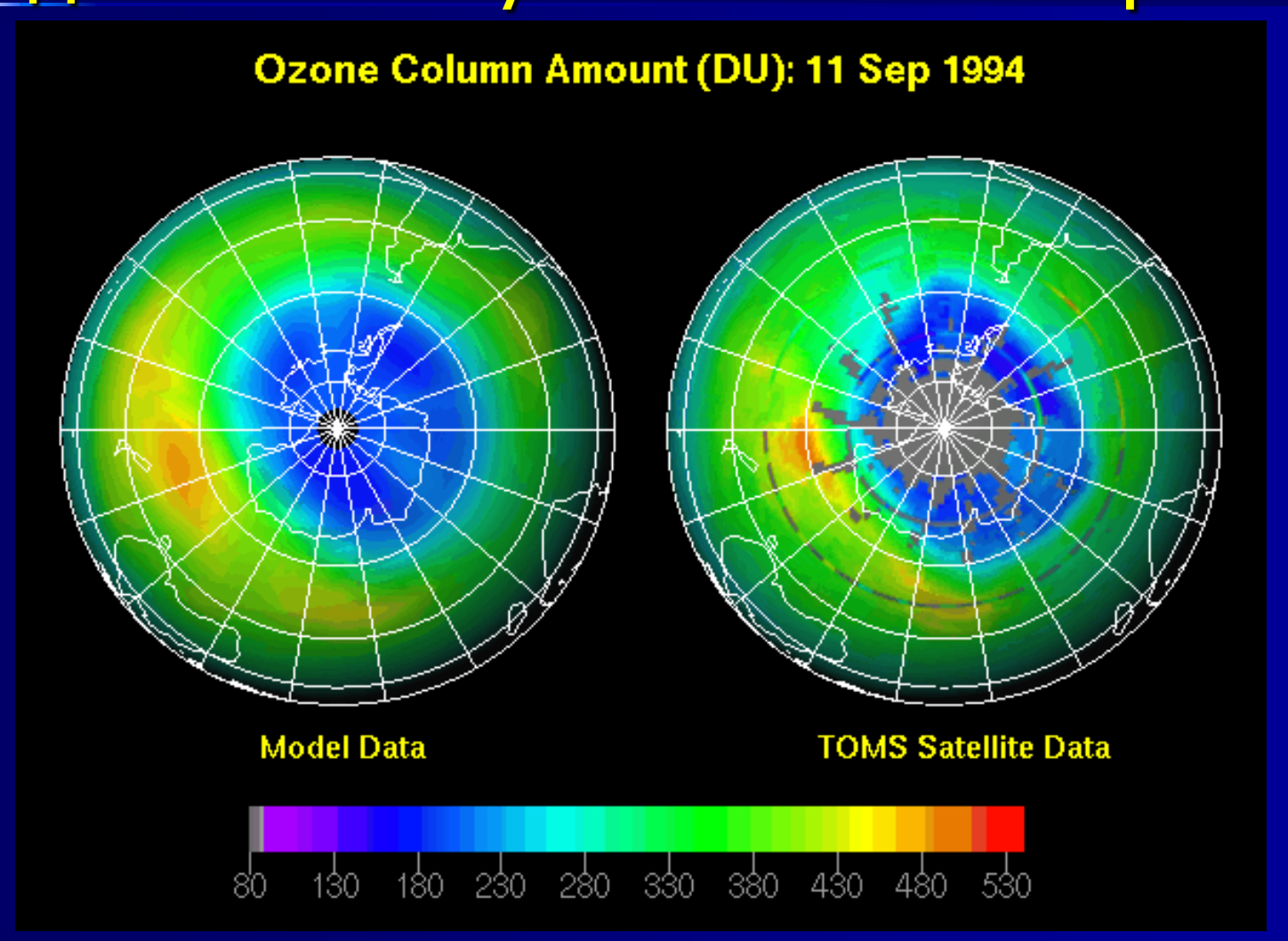
Распределение озона над северным полушарием весной



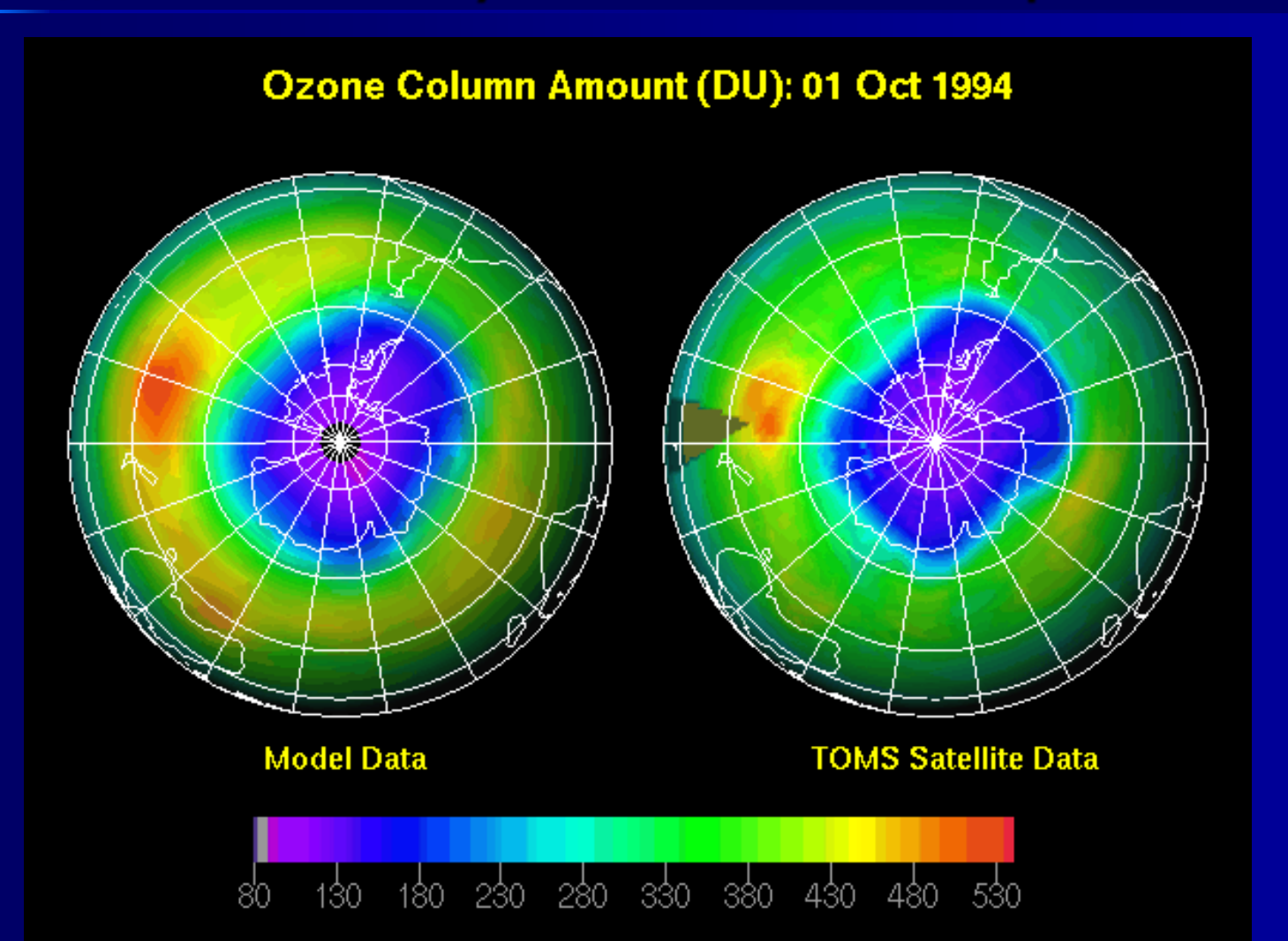
Формирование озоновой дыры над Антарктидой



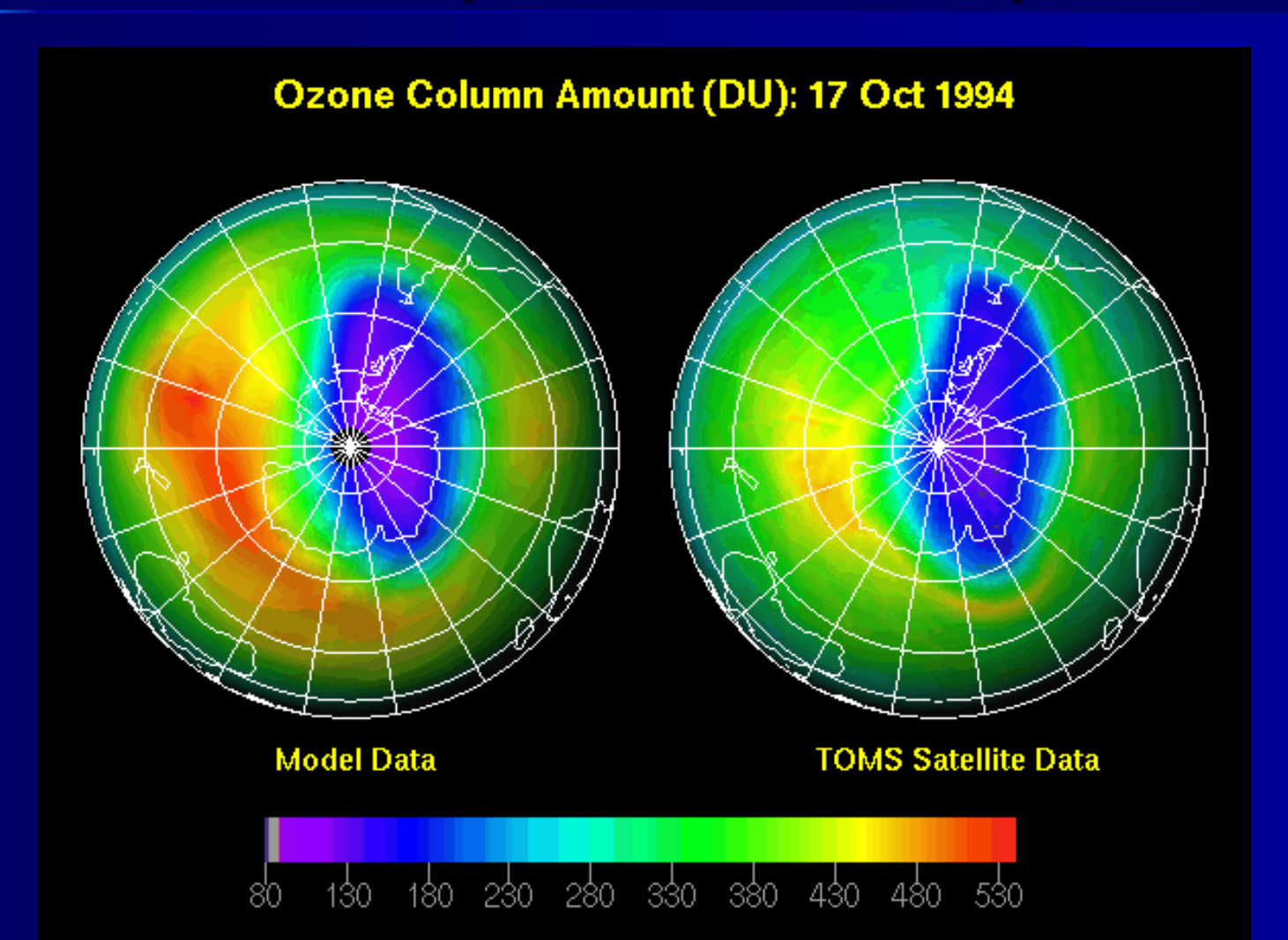
Сопоставление результатов компьютерного моделирования с данными спутниковых измерений



Сопоставление результатов компьютерного моделирования с данными спутниковых измерений



Сопоставление результатов компьютерного моделирования с данными спутниковых измерений

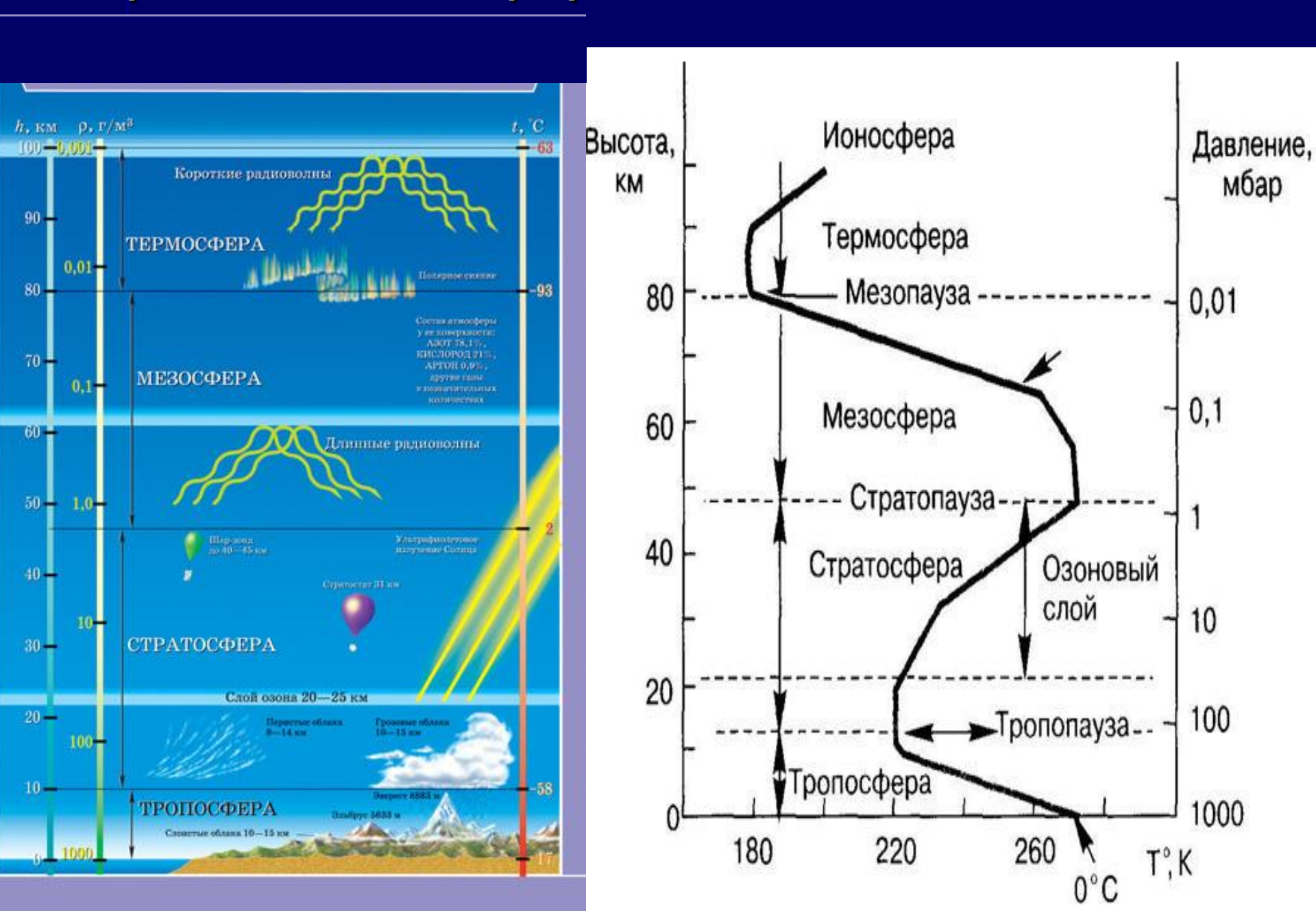


Сокращение производства ХФУ



График стратегий поэтапного сокращения производства и потребления хлорфторуглеродов в России

■ Строение атмосферы



СВЧ-пробой атмосферного воздуха

 $E_{cr}=30\cdot p\cdot \sqrt{2}\cdot \sqrt{1+\left(\omega/v_c\right)^2}$; V/cm — амплитуда критического поля пробоя, где в этом и в аналогичных выражениях давление p имеет размер Тогг, ω ; 1/s — круговая частота поля, и $v_c=4\cdot 10^9\cdot p$; 1/s — частота столкновений электронов с молекулами воздуха; $v_a=2\cdot 10^4\cdot p$; 1/s — эффективная частота прилипания

В результате проведения экспериментов выяснилась существенная роль наличия начальных свободных электронов в пробойной области. При естественном уровне начальной ионизации газа и пробое в импульсных полях наблюдается статистический разброс пробойного уровня поля E_{br} и некоторой особенности процесса пробоя в нарастающем во времени t поле. На Puc.2 приводятся иллюстрирующие это опытные данные. Puc.2a соответствует работающей в режиме бегущей волны установке с $\lambda = 8.9$ cm, а Puc.2b – работающей в режиме открытого резонатора установке с $\lambda = 4.3$ cm.

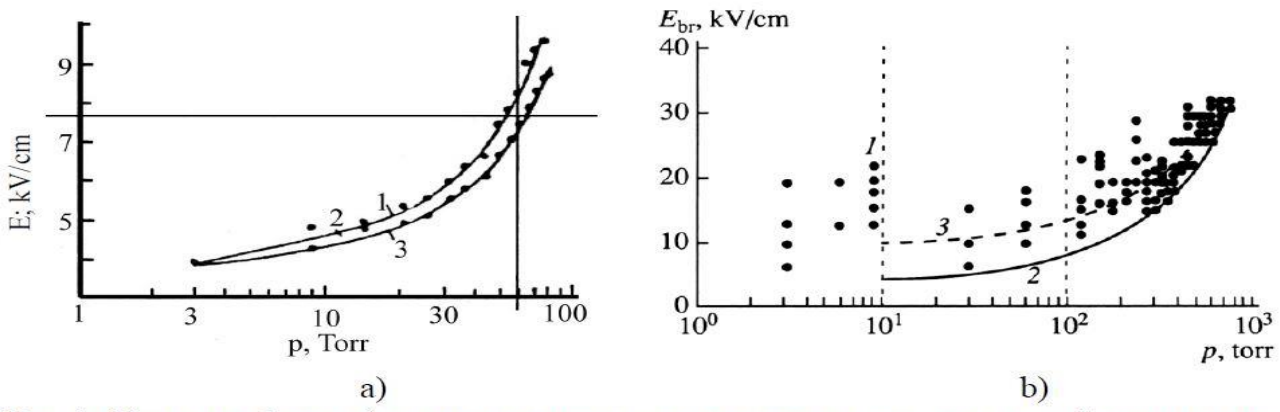


Рис. 2. Поле пробоя воздуха при естественном уровне его начальной ионизации

СВЧ-пробой атмосферного воздуха

На Puc.3 приведены характерные фотографии СВЧ-разрядов в диффузном виде при р ≈ 30 Torr (левая) и стримерном виде при р ≈ 100 Torr. На них излучение поступает слева, вектор E_{θ} вертикален, характерный поперечный размер разрядной области имеет масштаб десяти сантиметров.





Рис.3. Диффузный и стримерный безэлектродный свободно локализованный СВЧразряд в фокусе квазиоптического ЭМ-пучка

В этой главе описываются результаты экспериментального исследования некоторых свойств таких СВЧ-разрядов. Так, измерения средней n_e по разрядной области при величинах p от 12 до 120 Тогг дали ее значения от $3.5\cdot10^{11}$ до $3.5\cdot10^{12}$ 1/cm³, соответственно. Рост температуры газа ΔT в области

СВЧ-пробой атмосферного воздуха

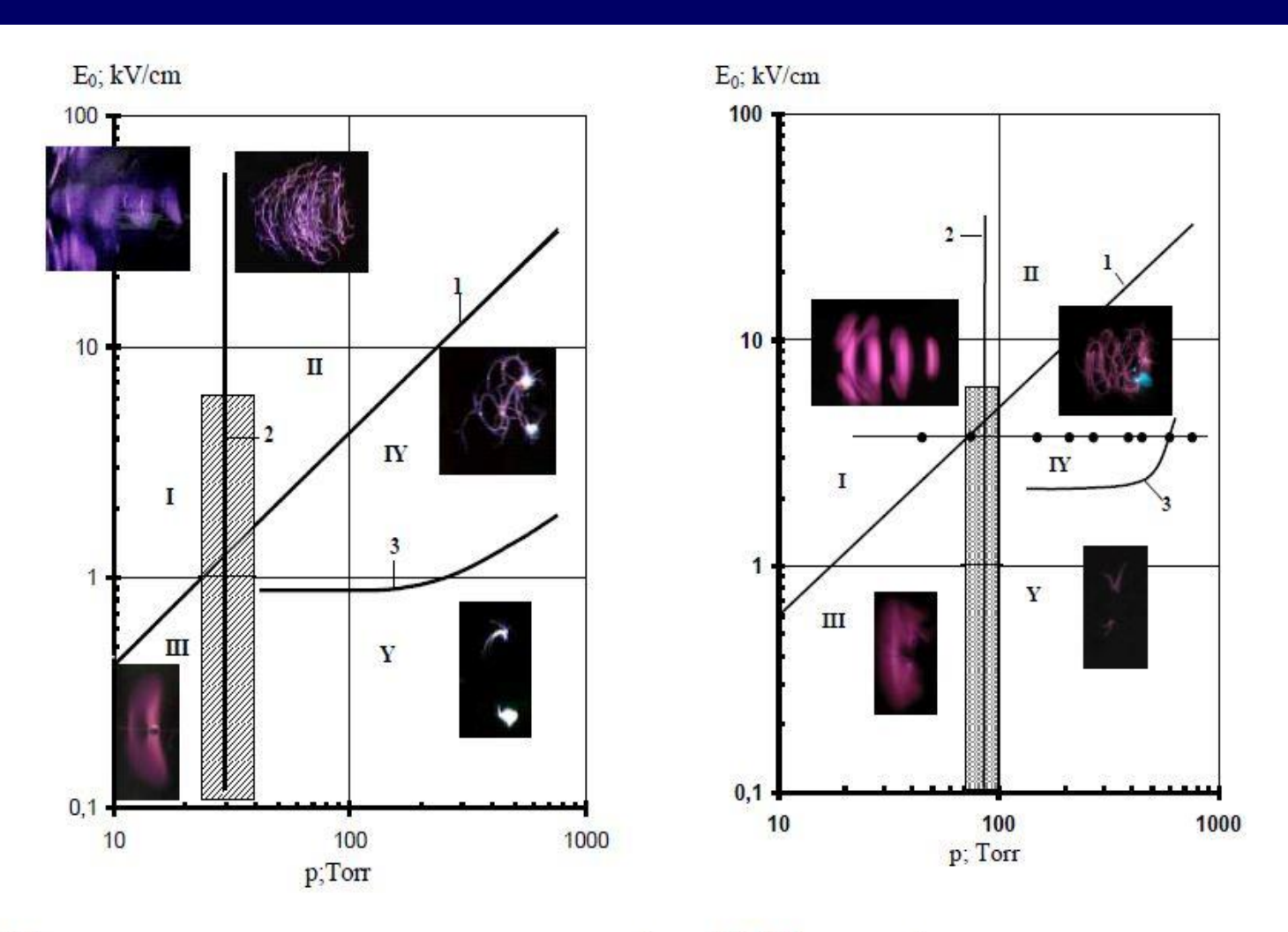


Рис. 6. Области реализации различных видов СВЧ-разряда в зависимости от уровня поля E_0 и давления воздуха р при $\lambda = 8.9$ ст (левая) и $\lambda = 2.5$ ст

Распределение давления и температуры атмосферы по высоте

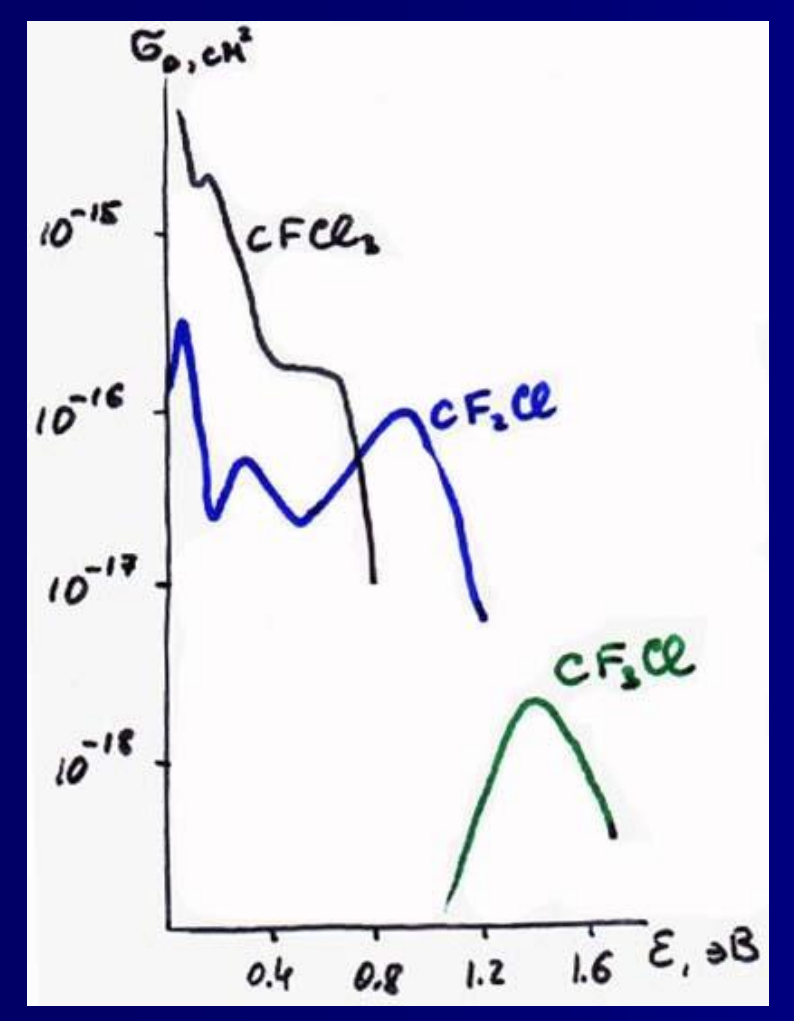


Разрушение молекул при диссоциативном прилипании (на h≤15 км)

$$CFCl_3 + e^- \Rightarrow Cl^- + CFCl_2$$

 $CF_2Cl_2 + e^- \Rightarrow Cl^- + CF_2Cl_2$

Энергия сродства электрона к Cl ϵ_a =3,8±0,1эВ Диссоциации CFCl₃ ϵ_d =3,3±0,1эВ CFCl₂ ϵ_d =3,5±0,1эВ



$$CFCl_3+e^- \Rightarrow Cl^-+CFCl_2$$

$$CF_2Cl_2+e^- \Rightarrow Cl^-+CF_2Cl$$

$$\sigma_1 v = 3*10^{-8} \text{ cm}^3/\text{c}$$

 $\sigma_2 v = 5*10^{-9} \text{ cm}^3/\text{c}$

$$E_{Cl}^- > E_{\mu\nu}$$

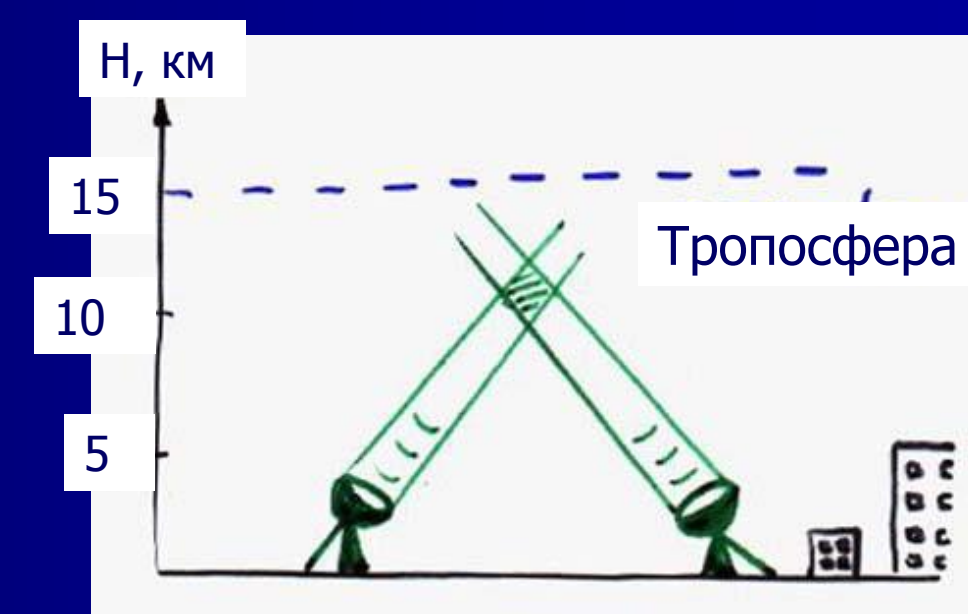
Параметры модуля

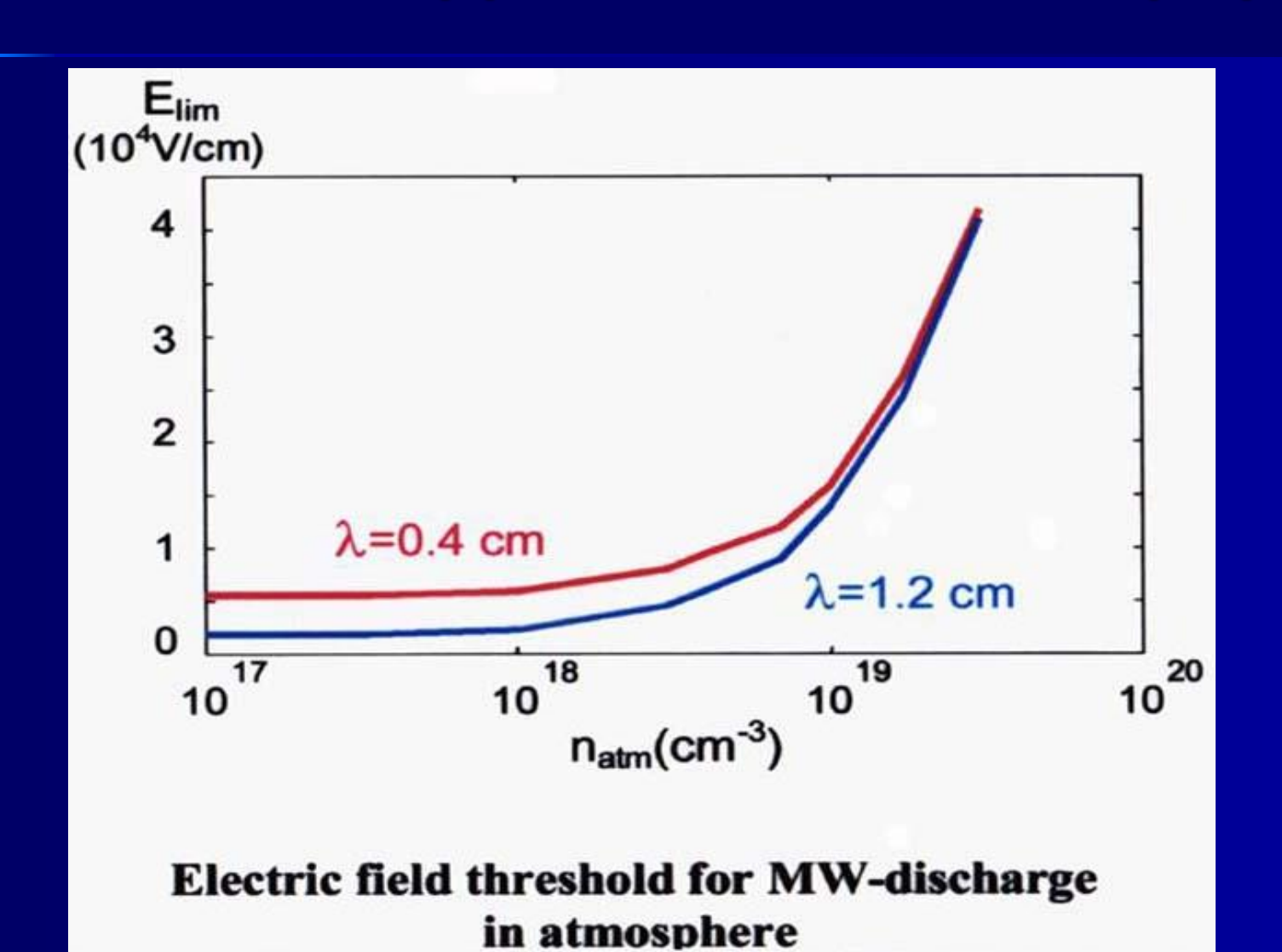
P = 500 MBT

H = 15 km

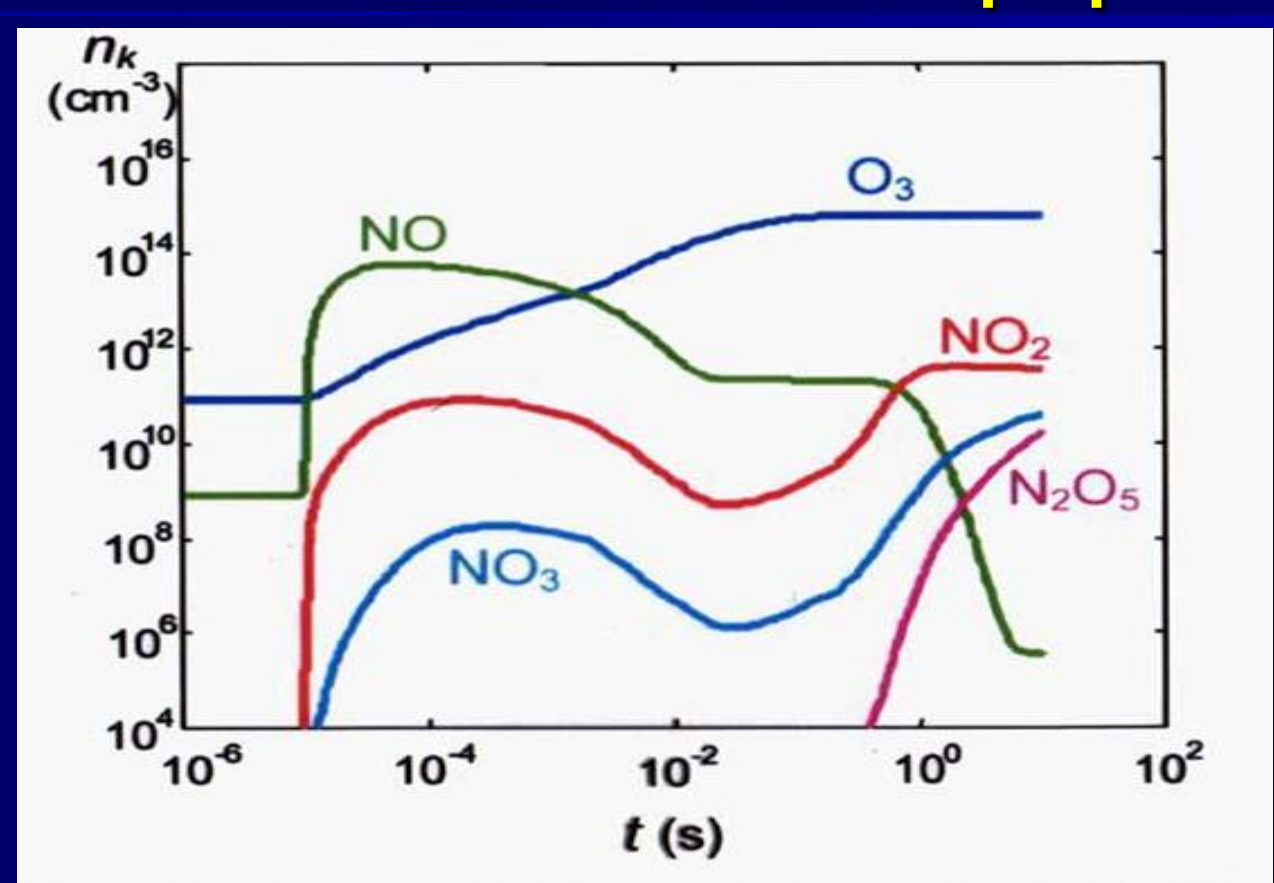
 $E_{\rm dp} = 20 \ {\rm K}_{\rm 3} {\rm B} / {\rm M}_{\rm 0} {\rm J}_{\rm 0} {\rm K}_{\rm 2}$

При $P_{\epsilon} = 20 \ \Gamma BT$ производительность $\sim 30 \ \kappa T/год$





Использование ММ-излучения для наработки озона в защитном озоновом слое атмосферы



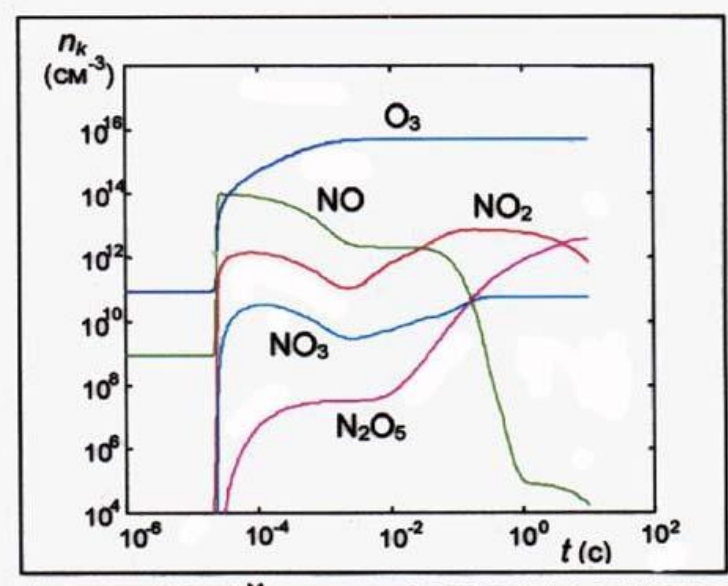
Time behavior of gas concentrations for MW-discharge in atmosphere $(E_0=8 \text{ kV/cm}, \lambda=0.4\text{cm}, n_{atm}=3\cdot10^{17}\text{cm}^{-3})$

Использование ММ-излучения для наработки озона в защитном озоновом слое атмосферы

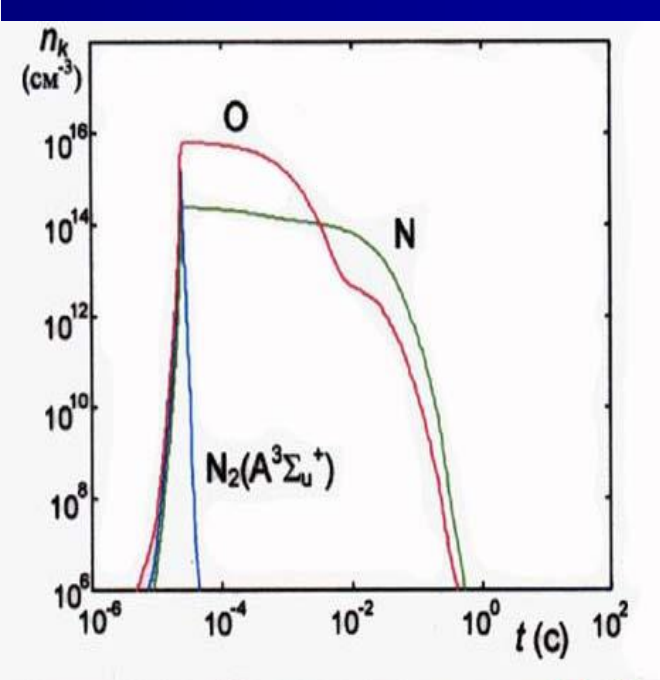
Результаты расчетов для нижней границы озонового слоя (n_m =3·10¹⁸ см⁻³).

СВЧ-разряд при λ =0.4см и E_0 =8кВ/см.

Поведение во времени

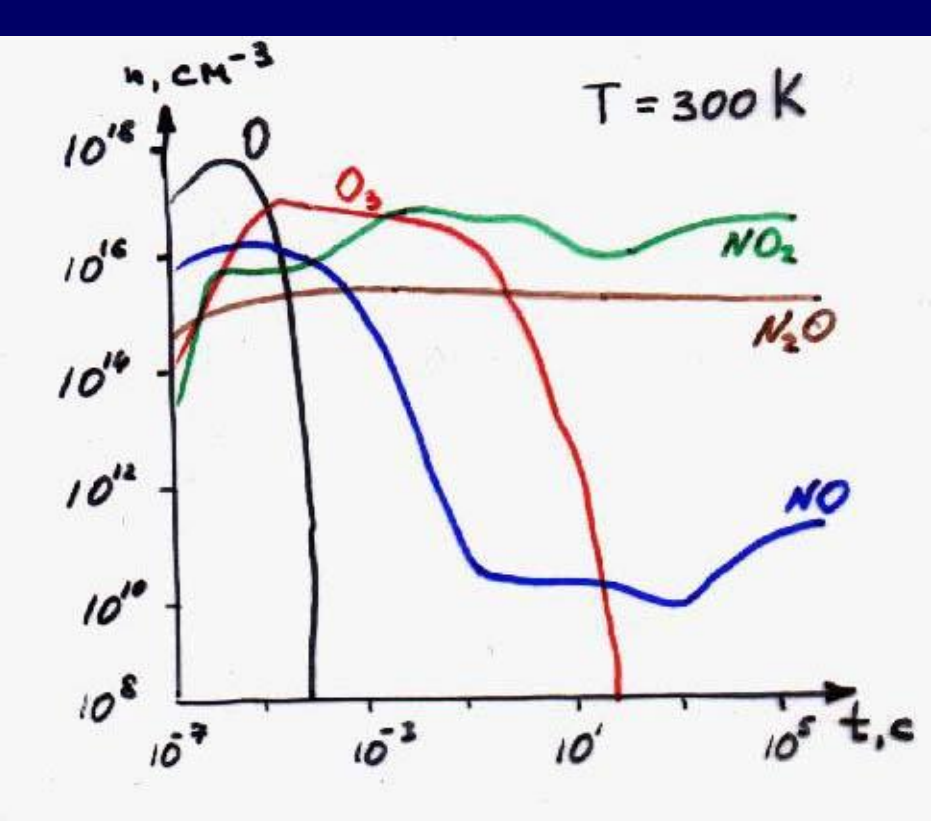


концентраций озона, основных окислов азота



а также свободных радикалов O, N и метастабильного состояния молекулы азота $N_2(A^3 \Sigma_u^+)$.

Разрушение озонового слоя при опытах по созданию в атмосфере искусственных ионизированных областей



$$NO + O_3 \rightarrow NO_2 + O_2$$
; $NO_2 + O \rightarrow NO + O_2$
 $NO_2 + O_3 \rightarrow NO_3 + O_2$; $2NO_2 \rightarrow 2NO_2 + O_2$

СПАСИБО ЗА ВНИМАНИЕ